



รายการอ้างอิง

ภาษาไทย

- นพรัตน์ วานิชสุขสมบัติ. 2545. การผลิตและลักษณะสมบัติของสารลดแรงตึงผิวชีวภาพที่ผลิตจาก *Pseudomonas* sp. สายพันธุ์ A41 โดยใช้ไขมันปาล์มเป็นแหล่งคาร์บอน. วิทยานิพนธ์ปริญญาวิทยาศาสตรบัณฑิต ภาควิชาจุลชีววิทยา จุฬาลงกรณ์มหาวิทยาลัย.
- อารีย์ กังฉิน. 2542. การแยกจุลินทรีย์ที่ผลิตสารลดแรงตึงผิวชีวภาพและการผลิตสารลดแรงตึงผิวชีวภาพ. วิทยานิพนธ์ปริญญาวิทยาศาสตรบัณฑิต ภาควิชาจุลชีววิทยา จุฬาลงกรณ์มหาวิทยาลัย.

ภาษาอังกฤษ

- Abalos, A., Pinazo, A., Infante, M.R., Casals, M., Garcia, F. and Manresa, A. 2001. Physicochemical and antimicrobial properties of new rhamnolipids produced by *Pseudomonas aeruginosa* AT10 from soybean oil refinery wastes. Langmuir. 17: 1367-1371.
- Achenbach, L.A., Carey, J. and Madigan, M.T. 2001. Photosynthetic and phylogenetic primers for detection of anoxygenic phototrophs in natural environments. Appl. Environ. Microbiol. 67: 2922-2926.
- Adhya, S., and Garges, S. 1990. Positive control. Minireview. J. Biol. Chem. 265: 10797-10800.
- Al-Tahhan, R.A., Sandrin, T.R., Bodour, A.A and Maier, R.M. 2000. Rhamnolipid-induced removal of lipopolysaccharide from *Pseudomonas aeruginosa*: effect on cell surface properties and interaction with hydrophobic substrates. Appl. Environ. Microbiol. 66: 3262-3268.
- Ausubel, F.A., Brent, R., Kingston, R.E., Moore, D.D., Seidman, J.G., Smith, J.A. and Struhl, K. 1999. Current protocols in molecular biology. 4th ed. New York: John Wiley & Sons.

- Babu, P.S., Vaidya, A.N., Bal, A.S., Kapur, R., Juwarkar, A. and Khanna, P. 1996. Kinetics of biosurfactant production by *Pseudomonas aeruginosa* strain BS2 from industrial waste. Biotechnol Lett. 18: 263 – 268.
- Bai, G., Brusseau, M.L. and Miller, R.M. 1997. Influence of a rhamnolipid biosurfactant on the transport of bacteria through a sandy soil. Appl. Environ. Microbiol. 63: 1866-1873.
- Banat, I.M., Makkar, R.S. and Cameotra, S. S. 2000. Potential commercial applications of microbial surfactants. Appl. Microbiol. Biotechnol. 2000. 53: 495-508.
- Baath, E. 1989. Effects of heavy metals in soil on microbial processes and populations. Water Air Soil Pollut. 47: 335-379.
- Beal, R. and Betts, W.B. 2000. Role of rhamnolipid biosurfactants in the uptake and mineralization of hexadecane in *Pseudomonas aeruginosa*. J. Appl. Microbiol. 89: 158-168.
- Bergstrom, S., Theorell, H. and Davide, H. 1946. On a metabolic product of *Ps Pyocyanea*, pyolipic acid, active against *Myobact. tuberculosis*. Ark Kem Mineral Geol 23A: 1-12.
- Bertrand, J.C., Bonin, P., Goutex, M. and Mille, G. 1994. The potential application of biosurfactant in combating hydrocarbon pollution in marine environments. Res. Microbiol. 145: 53-56.
- Bloomberg, G. 1991. Designing proteins as emulsifiers. Lebensmitteltechnologie. 24: 130-131.
- Bodour, A.A., Drees, K.P. and Maier, R.M. 2003. Distribution of biosurfactant-producing bacteria in undisturbed and contaminated arid southwestern soils. Appl. Environ. Microbiol. 69: 3280-3287.
- Borgman, U. and Norwood, W.P. 1995. EDTA toxicity and background concentrations of copper and zinc in Hyalella-Azteca. Can. J. Fish. Aquat. Sci. 52: 875-881.
- Bouret, R.B., Borkovich, K.A. and Simon, M.I. 1991. Signal transduction pathways involving protein phosphorylation in prokaryotes. Annu. Rev. Biochem. 60: 401-441.
- Brown, M.J. 1991. Biosurfactants for cosmetic applications. Int. J. Cosmet. Sci. 13: 61-64.

- Buell, C.R., Joardar, V., Lindeberg, M., Selengut, J., Paulsen, I.T., Gwinn, M.L., Dodson, R.J., Deboy, R.T., Durkin, A.S., Kolonay, J.F., Madupu, R., Daugherty, S., Brinkac, L., Beanan, M.J., Haft, D.H., Nelson, W.C., Davidsen, T., Zafar, N., Zhou, L., Liu, J., Yuan, Q., Khouri, H., Fedorova, N., Tran, B., Russell, D., Berry, K., Utterback, T., Van Aken, S.E., Feldblyum, T.V., D'Ascenzo, M., Deng, W.L., Ramos, A.R., Alfano, J.R., Cartinhour, S., Chatterjee, A.K., Delaney, T.P., Lazarowitz, S.G., Martin, G.B., Schneider, D.J., Tang, X., Bender, C.L., White, O., Fraser, C.M. and Collmer, A. 2003. The complete genome sequence of the arabidopsis and tomato pathogen *Pseudomonas syringae* pv. tomato DC3000. Proc. Natl. Acad. Sci. U.S.A. 100: 10181-10186.
- Bunster, L., Fokkema, N.J. and Schippers, B. 1989. Effect of surface-active *Pseudomonas* spp. on leaf wetability. Appl. Environ. Microbiol. 55: 1340-1345.
- Burger, M.M., Glaser, L. and Burton, R.M. 1963. The enzymatic synthesis of rhamnose-containing glycolipids by extracts of *Pseudomonas aeruginosa*. J. Biol. Chem. 238: 2595-2602.
- Burger, M.M., Glaser, L. and Burton, R.M. 1966. Formation of rhamnolipids of *Pseudomonas aeruginosa*. Methods Enzymol. 8: 441-445.
- Busscher, H.J., Vanderkuijbooi, M. and Van der Mei, H.C. 1996. Biosurfactants from thermophilic dairy *Streptococci* and their potential role in the fouling control of heat exchanger plates. J. Ind. Microbiol. 16: 15-21.
- Cameotra, S.S. and Makkar, R.S. 1998. Synthesis of biosurfactants in extreme conditions. Appl Microbiol Biotechnol. 50: 520-529.
- Clint, J.H. 1992. Micelle formation. Surfactant aggregation pp. 82-129. New York: Chapman and Hall.
- Collado-Vides, J., Magasanik, B. and Gralla, J.D. 1991. Control site location and transcriptional regulation in *Escherichia coli*. Microbiol. Rev. 55: 371-394.
- Cooper, D.G. 1986. Biosurfactants. Microbiol. Sci. 3: 145-1459.
- Cooper, D.G. and Zajic, J.E. 1980. Surface-active compounds from microorganisms. Adv. Appl. Microbiol. 26: 229-256.

- Daniel, H.J., Otto, R.T., Binder, M. and Syldatk, C. 1998. Sophorolipid production with high yields on whey concentrated and rape seed oil without consumption of lactose. Biotechnol. Lett. 20: 805-807.
- Deretic, V., Gill, J.F. and Chakrabarty, A.M. 1987. BioTechnology. 5: 469-477.
- Deretic, V., Konyecsni, W.M., Nohr, C.D., Martin, D.W. and Hibler, N.S. 1989. BioTechnology. 7: 1249-1254.
- Desai, J.D. and Banat, I.M. 1997. Microbial production of surfactants and their commercial potential. Microbiol. Mol. Biol. Rev. 61:47-64.
- Devine, J.H., Shadel, G.S. and Baldwin, T.O. 1989. Identification of the operator of the *lux* regulon from the *Vibrio fischeri* strain ATCC 7744. Proc. Natl. Acad. Sci. USA. 86: 5688-5692.
- Duxbury, T. 1981. Toxicity of heavy metals to soil bacteria. FEMS Microbiol. Lett. 11: 217-220.
- Edwards, J.R. and Hayashi, J.A. 1965. Structure of a rhamnolipid from *Pseudomonas aeruginosa*. Arch. Biochem. Biophys. 111: 415-421.
- Fiechter, A. 1992. Biosurfactants: moving towards industrial application. Trends. Biotechnol. 10: 208-217.
- Finnerty, W.R. and Singer, M.E. 1985. Membranes of hydrocarbon-utilizing microorganisms. In: Ghosh BK (ed) Organization of prokaryotic cell membranes. vol 3. CRC Press, Boca Raton, Fla., pp 1-44.
- Fuqua, W.C. and Greenberg, E.P. 1998. Self perception in bacteria: molecular mechanisms of stimulus-response coupling. Curr Opin Microbiol. 1:183-189.
- Fuqua, C., Parsek, M.R. and Greenberg, E.P. 2001. Regulation of gene expression by cell-to-cell communication: acyl-homoserine lactone quorum-sensing. Annu. Rev. Genet. 35: 439-468.
- Fuqua, W.C., Winans, S.C. and Greenberg, E. P. 1994. Quorum sensing in bacteria: the LuxR-LuxI family of cell density- responsive transcriptional regulators. J. Bacteriol. 176: 269-275.
- Fuqua, W.C., Winans, S.C. and Greenberg, E. P. 1996. Census and consensus in bacterial ecosystems: the LuxR-LuxI family of quorum sensing transcriptional regulators. Annu. Rev. Microbiol. 50:727-751.

- Gambello, M.J. and Iglewski, B.H. 1991. Cloning and characterization of the *Pseudomonas aeruginosa lasR* gene: a transcriptional activator of elastase expression. J. Bacteriol. 173: 3000-3009.
- Gambello, M.J., Kaye, S. And Iglewski, B.H. 1993. LasR of *Pseudomonas aeruginosa* is a transcriptional activator of the alkaline protease gene (*apr*) and an enhancer of exotoxin A expression. Infect. Immun. 61: 1180-1184.
- Gerson, D.F. 1993. The biophysics of microbial surfactants : growth on insoluble substrates. In N. Kosaric (ed), Biosurfactant : production, properties, applications. pp. 169-286. New York : Marcel Dekker.
- Gilman, L.B. 1993. A review of instruments for static and dynamic surface and interfacial tension measurement. Present at the seminar by Kruss GmbH and Scientific promotion Co., Ltd, at Indra Regent Hotel, BK. Thailand, October 30, 1997.
- Haba, E., Espuny, M.J., Busquets, M. and Manresa, A. 2000. Screening and production of rhamnolipids by *Pseudomonas aeruginosa* 47T2 NCIB 40044 from waste frying oils. J. Appl. Microbiol. 88: 379-387.
- Haferburg, D., Hommel, R., Kleber, H-P., Kluge, S., Schuster, G. and Zschiegner, H-J. 1987. Antiphytovirale Aktivitat von rhamnolipid aus *Pseudomonas aeruginosa*. Acta. Biotechnol. 7: 353-356.
- Hanahan, D. 1983. Studies on transformation of *Escherichia coli* with plasmids. J. Mol. Biol. 166: 557-580.
- Hasanuzzaman, M., Umadhay-Briones, K.M., Zsiros, S.M., Morita, N., Nodasaka, Y., Yumoto, I. and Okuyama, H. 2004. Isolation, identification, and characterization of a novel, oil-degrading bacterium, *Pseudomonas aeruginosa* T1. Curr. Microbiol. 49: 108-114.
- Hauser, G. and Karnovsky, M.L. 1957. Rhamnose and rhamnolipid biosynthesis by *Pseudomonas aeruginosa*. J. Biol. Chem. 224: 91-105.
- Hauser, G. and Karnovsky, M.L. 1958. Studies on biosynthesis of L-rhamnose. J. Biol. Chem. 233: 287-291.
- Hayes, M.E., Nestaas, E. and Hrebenar, K.R. 1986. Microbial surfactants. Chemtech. 4: 239-243.

- Head, I.M. 1998. Bioremediation: towards a credible technology. Microbiol. 144: 599-608.
- Henikolf, S., Wallace, J.C. and Brown, J.P. 1989. Finding protein similarities with nucleotide sequence databases. Methods Enzymol. 183 : 111-132.
- Herman, D.C., Artiola, J.F. and Miller, R.M. 1995. Removal of cadmium, lead and zinc from soil by a rhamnolipid biosurfactant. Environ. Sci. Technol. 29: 2280-2285.
- Herman, D.C., Zhang, Y. and Miller, R.M. 1997. Rhamnolipid (biosurfactant) effects on cell aggregation and biodegradation of residual hexadecane under saturated flow conditions. Appl. Environ. Microbiol. 63: 3622-3627.
- Hirayama, T. and Kato, I. 1982. Novel methyl rhamnolipids from *Pseudomonas aeruginosa*. FEBS. Lett. 139: 81-85.
- Hisatuska, K., Nakahare, T., Sano, N. and Yamada, K. 1971. Formation of rhamnolipid by *Pseudomonas aeruginosa* and function in hydrocarbon fermentation. Agr. Biol. Chem. 35: 686-692.
- Hisatuska, K., Nakahara, T. and Yamada, K. 1972. Protein-like activator for n-alkane oxidation by *Pseudomonas aeruginosa* S₇B₁. Agr. Biol. Chem. 36: 1361-1369.
- Hori, K., Marsudi, S. and Unno, H. 2002. Simultaneous production of polyhydroxyalkanoates and rhamnolipid by *Pseudomonas aeruginosa*. Biotechnol. Bioengineer. 78: 699-707.
- Huffman, J.L., Li, H., White, R.H. and Tainer, J.A. 2003. Structural basis for recognition and catalysis by the bifunctional dCTP deaminase and dUTPase from *Methanococcus jannaschii*. J. Mol. Biol. 331: 885-896.
- Hughes, M.N. and Poole, R.K. 1989. Metal mimicry and metal limitations in studies of metal-microbe interactions In Poole R.K. and Gadd G.M. (eds) Metal-microbe interactions. Society for General Microbiology. IRL. Oxford.
- Ishigami. 1997. Characterization of biosurfactants. In: Esumi, L. and Ueno, M. (ed) Structure-performance relationships in surfactants. New York: Dekker: pp 197-226.
- Ishigami, Y., Gama, Y., Nagahara, H., Motomiya, T. and Yamaguchi, M. 1988a. Liposome containing rhamnolipids. Japanese Patent Kokai. 63-182, 029.

- Ishigami, Y., Gama, Y., Uji, Y., Nasui, K. and Shibayama, Y. 1988b. Japanese Patent Kokai. 63-77, 535.
- Ishigami, Y. and Suzuki, S. 1997. Development of biochemical-functionlization of biosurfactants and natural dyes. Prog. Org. Coat. 31: 51-61.
- Itoh, A., Honda, H., Tomato, F. and Suzuki, T. 1971. Rhamnolipid produced by *Pseudomonas aeruginosa* grown on n-paraffin. J. Antibiot. 24: 855-859.
- Itoh, S. and Suzuki, T. 1972. Effect of rhamnolipids on growth of *Pseudomonas aeruginosa* mutant deficient in n-paraffin-utilizing ability. Agr. Biol. Chem. 36: 2233-2235.
- Jarvis, F.G. and Johnson, M.J. 1949. A glycolipid produced by *Pseudomonas aeruginosa*. J. Am. Chem. Soc. 71: 4124-4126. Cited in Desai, J. D. and Banat, I. M. 1997. in Microbial production of surfactants and their commercial potential. Microbiol. Mol. Biol. Rev. 61: 47-64.
- Jeneil biosurfactant Co., LLC. Data product. [Online]. 400N Dekora Woods Blvd. Saukville. WI. USA: 2001. Available from: <http://www.biosurfactant.com> [2002, august 26].
- Jeong, H-S., Lim, D-J., Hwang, S-H., Ha, S-D. and Kong, J-Y. 2004. Rhamnolipid production by *Pseudomonas aeruginosa* immobilized in polyvinyl alcohol beads. Biotechnol. Lett. 26: 35-39.
- Kaweshima, H., Nakahara, T., Oogaki, M. and Tabuchi, T. 1983. Extracellular production of a mannosylerythritol lipid of a mutant of *Candida* sp. From n-alkane and triglycerides. J. Ferment. Technol. 61: 143-149.
- Kitamoto, D., Yanagishita, H., Shinbo, T., Makane, T., Kanmisawa, C. and Nakahara, T. 1993. Surface active properties and antimicrobial activities of mannosylerythritol lipids as biosurfactant produced by *Candida antarctica*. J. Biotechnol. 29: 91-96.
- Kleckner, V. and Kosaric, N. 1993. Biosurfactants for cosmetics. In: Kosaric N (ed) Biosurfactants, production, properties, applications. Surfactant science series: vol 48. New York: Dekker. pp. 373-389.
- Knoche, H.W. and Shiveley, J.M. 1972. The structure of an ornithine-containing lipids from *Thiobacillus thiooxidans*. J. Biol. Chem. 247: 170-178.

- Koch, A.K., Reiser, J., Kappeli, O. and Fiechter, A. 1988. Genetic construction of lactose-utilizing strains of *Pseudomonas aeruginosa* and their application in biosurfactant production. Bio./ Technology 51: 1335-1339.
- Koch, A.K., Kappeli, O., Fiechter, A. and Reiser, J. 1991. Hydrocarbon assimilation and biosurfactant production in *Pseudomonas aeruginosa* mutants. J. Bacteriol. 173: 4212-4219.
- Kosaric, N. 1993. Biosurfactant *Production *Property *Application. Surfactant Science Series: vol 48. New York: Marcel Dekker.
- Kosaric, N. 2001. Biosurfactants and their application for soil bioremediation. Food. Technol. Biotechnol. 39: 295-304.
- Kosaric, N., Cairns, W.L., Gray, N.C.C., Stechey, D. and Wood, J. 1984. The role of nitrogen in multiorganism strategies for biosurfactant production. J. Am Oil Chem. Soc. 61: 1735-1743.
- Kovalick, W. 1991. Perspective on health and environmental risks of soil pollution and experiences with innovative remediation technologies. In Abstracts of the 4th world Congress of Chemical Engineering. abstract 3.3-1. Karlsruhe, Germany.
- Lafrance, P. and Lapointe, M. 1998. Mobilization and co-transport of pyrene in the presence of *Pseudomonas aeruginosa* UG2 biosurfactants in sandy soil columns. Ground Water Monit Rev. 18: 139-147.
- Lamb, J.R., Patel, H., Montminy, T., Wagner, V.E. and Iglewski, B.H. 2003. Functional domains of the RhIR transcriptional regulator of *Pseudomonas aeruginosa*. J. Bacteriol. 185: 7129-7139.
- Lang, S. and Wullbrandt, D. 1999. Rhamnose lipid-biosynthesis, microbial production and application potential. Appl. Microbiol Biotechnol. 51: 22-32.
- Latifi, A., Foglino, M., Tanaka, K., Williams, P. and Lazdunski. 1996. A hierarchical quorum-sensing cascade in *Pseudomonas aeruginosa* links the transcriptional activators LasR and RhIR to expression of the stationary phase sigma factor RpoS. Mol. Microbiol. 21: 1137-1146.

- Latifi, A., Winson, M.K., Foglino, M., Bycroft, B.W., Stewart, G.S., Lazdunski, A. and Williams, P. 1995. Multiple homologues of LuxR and LuxI control expression of virulence determinants and secondary metabolites through quorum sensing in *Pseudomonas aeruginosa* PAO1. Mol. Microbiol. 17: 333-343.
- Leenhouts, J.M., Van der Winingard, P.W.J., De Kroon, A.I.P.M. and Der Kruiff, B. 1995. Anionic phospholipids can mediate membrane insertion of the anionic part of a bound peptide. FEBS Lett. 370: 361-369.
- Li, H., Xu, H., Graham, D.E. and White, R.H. 2003. The *Methanococcus jannaschii* dCTP deaminase is a bifunctional deaminase and diphosphatase. J. Biological Chemistry. 278: 11100-11106.
- Lin, S.C. 1996. Biosurfactants: recent advances. J. Chem. Tech. Biotechnol. 66: 109-120.
- Linhardt, R.J., Bakhit, R., Daniels, L., Mayerl, F. and Pickenhagen, W. 1989. Microbially produce rhamnolipid as a source of rhamnose. Biotechnol. Bioeng. 33: 365-368.
- Linos, A., Reichelt, R., Keller, U. and Steinbüchel, A. 2000. A gram-negative bacterium, identified as *Pseudomonas aeruginosa* AL98, is a potent degrader of natural rubber and synthetic *cis*-1,4-polyisoprene. FEMS Microbiol. Lett. 182: 155-161.
- Lisser, S. and Margalit, H. 1993. Compilation of *E. coli* mRNA promoter sequences. Nucleic acids Res. 21(7): 1507-1516.
- Maier, R.M. and Soberon-Chavez, G. 2000. *Pseudomonas aeruginosa* rhamnolipids: biosynthesis and potential applications. Appl. Microbiol. Biotechnol. 54: 625-633.
- Makkar, R.S. and Cameotra, S.S. 1999a. Biosurfactant production by microorganisms on unconventional carbon sources-a review. J Surf Det. 2: 237-241.
- Makkar, R.S. and Cameotra, S.S. 1999b. Biochemical and structural characterization of biosurfactant produced by *Bacillus subtilis* at thermophilic conditions. J. Surf. Det. 2: 371-376.
- Martell, A.E. and Smith, R.M. 1976. Critical stability constants, vol 1 and 3. Plenum. New York.
- Matsuyama, T., Kaneda, L., Ishizuka, I., Toida, T. and Yano, I. 1990. Surface-active novel extracellular cyclic lipopeptide which promotes flagellum-dependent and independent spreading growth of *Serratia marcescens*. J. Bacteriol. 174: 1769-1776.

- Matsuyama, T.K, Kaneda, K. and Yoshimoto, A. 1997. High production of rhamnolipids by *Pseudomonas aeruginosa* growing on ethanol. Biotechnol. Lett. 19: 1213-1215.
- Medina, G., Juarez, K., Balderrama, B. and Soberon-Chavez. G. 2003. Mechanism of *Pseudomonas aeruginosa* RhlR transcriptional regulation of the rhlAB promoter. J. Bacteriol. 185: 5976-5983.
- Medina, G., Juarez, K., Diaz, R. And Soberon-Chavez, G. 2003. Transcriptional regulation of *Pseudomonas aeruginosa* rhlR, encoding a quorum-sensing regulatory protein. Microbiology. 149: 3073-3081.
- Mercade, M.E., Manresa, A., Robert, M., Espuny, M.J., de Andres, C. and Guinea, J. 1993. Olive oil mill effluent (OOME). New substrate for biosurfactant production. Bioresource Technol. 43: 1 – 6
- Miller, R.M. 1995. Surfactant-enhanced bioavailability of slightly soluble organic compounds. In Skopper H. and Turco R. (eds) Bioremediation-science and applications. Soil Science Society of America special publication. Madison. Wis. pp. 33-54.
- Morett , E. and Segovia, L. 1993. J. Bacteriol. 175: 6067-6074.
- Morona, R., Mavris, M., Fallarino, A. And Manning, P.A. 1994. Characterization of the rfc region of *Shigella flexneri*. J. Bacteriol. 176: 733-747.
- Mueller, J.G., Devereux, R., Santavy, D.L., Lantz, S.E., Willis, S.G. and Pritchard, P.H. 1997. Phylogenetic and physiological comparisons of PAH-degrading bacteria from geographically diverse soils. Antonie van Leeuwenhoek. 71: 329-343.
- Mulligan, C.N., Chow, T.Y.K. and Gibbs, B.F. 1989. Enhanced biosurfactant production by a mutant *Bacillus subtilis* strain. Appl. Microbiol. Biotechnol. 31: 486-489.
- Mulligan, C.N. and Gibbs, B.F. 1993. Factors influencing the economics of biosurfactants, p. 329-371, In Kosaric N. (ed.) Biosurfactants: production, properties, applications. Marcel Dekker, Inc., New York, N.Y.
- Mulligan, C.N., Yong, R.N. and Gibbs, B.F. 1999. On the use of biosurfactants for the removal of the removal of heavy metal from oil-contaminated soil. Environ. Prog. 18: 50-54.

- National Research Council. 1994. Alternatives for ground water clean up.
Washington, DC: National Academy Press.
- Nayyar, S.P., Sabatini, D.A. and Harwell, J.A. 1994. Surfactant adsorption and modified micellar sorption of nonpolar, polar and ionizable organic contaminants. Environ. Sci. Technol. 28: 1874-1881.
- Neuhard, J. 1968. J. Biol. Chem. 96: 1519-1527.
- Nelson, K., Paulsen, I., Weinel, C., Dodson, R., Hilbert, H., Fouts, D., Gill, S., Pop, M., Martins Dos Santos, V., Holmes, M., Brinkac, L., Beanan, M., DeBoy, R., Daugherty, S., Kolonay, J., Madupu, R., Nelson, W., White, O., Peterson, J., Khouri, H., Hance, I., Lee, P., Holtzapple, E., Scanlan, D., Tran, K., Moazzes, A., Utterback, T., Rizzo, M., Lee, K., Kosack, D., Moestl, D., Wedler, H., Lauber, J., Hoheisel, J., Straetz, M., Im, S., Kiewitz, C., Eisen, J., Timmis, K., Duesterhoft, A., Tummeler, B. and Fraser, C. 2002. Complete genome sequence and comparative analysis of the metabolically versatile *Pseudomonas putida* KT2440. Environ. Microbiol. 4: 799-808.
- Nielsen, T.H., Sørensen, D., Tobiasen, C., Andersen, J.B., Christophersen, C., Givskov, M. and Sørensen, J. 2002. Antibiotic and biosurfactant properties of cyclic lipopeptides produced by fluorescent *Pseudomonas* spp. from the sugar beet rhizosphere. Appl. Environ. Microbiol. 68: 3416-3423.
- Noordman, W.M., Ji, W., Brusseau, M.L. and Janssen, D.B. 1998. Effect of rhamnolipid biosurfactants on removal of phenanthrene from soil. Environ. Sci. Technol. 32: 1806-1812.
- Ochoa-Loza, F. 1998. Physico-chemical factors affecting rhamnolipid biosurfactant application for removal of metal contaminants from soil. Ph.D. dissertation. University of Arizona. Tucson.
- Ochsner, U.A., Fiechter, A. and Reiser, J. 1994a. Isolation, characterization, and expression in *Escherichia coli* of the *Pseudomonas aeruginosa* *rhlAB* genes encoding a rhamnosyltransferase involved in rhamnolipid biosurfactant synthesis. J. Biol. Chem. 269: 19787-19795.
- Ochsner, U.A., Hembach, T. and Fiechter, A. 1996. Production of rhamnolipid biosurfactant. In Fiechter, A. (ed) Advances in biochemical engineering biotechnology, vol 53. Springer, Berlin Heidelberg. New York. Pp. 89-118.

- Ochsner, U.A., Koch, A.K., Fiechter, A. and Reiser, J. 1994b. Isolation and characterization of a regulatory gene affecting rhamnolipid biosurfactant synthesis in *Pseudomonas aeruginosa*. J. Bacteriol. 176:2044-2054.
- Ochsner, U.A. and Reiser, J. 1995. Autoinducer-mediated regulation of rhamnolipid biosurfactant synthesis in *Pseudomonas aeruginosa*. Proc. Natl. Acad. Sci. U.S.A. 92: 6424-6428.
- Ochsner, U.A., Reiser, J., Fiechter, A. and Witholt, B. 1995. Production of *Pseudomonas aeruginosa* rhamnolipid biosurfactants in heterologous hosts. Appl. Environ. Microbiol. 61:3503-3506.
- Ohno, A., Ano, T. and Shoda, M. 1995. Production of a lipopeptide antibiotic, surfactin, by recombinant *Bacillus subtilis* in solid state fermentation. Biotechnol. Bioeng. 47: 209-214.
- Passador, L., Cook, J.M., Gambello, M.J., Rust, L. and Iglewski, B.H. 1993. Expression of *Pseudomonas aeruginosa* virulence genes requires cell-to-cell communication. Science. 260: 1127-1130.
- Patel, R.M. and Desai, A.J. 1997a. Biosurfactant production by *Pseudomonas aeruginosa* GS3 from molasses. Lett. Appl Microbiol. 25: 91-94.
- Patel, R.M. and Desai, A.J. 1997b. Surface-active properties of rhamnolipids from *Pseudomonas aeruginosa* GS3. J. Basic. Microbiol. 37: 281-286.
- Pearson, J.P., Gray, K.M., Passador, L., Tucker, K.D., Eberhard, A., Iglewski, B.H. and Greenberg, E.P. 1994. Structure of the autoinducer required for expression of *Pseudomonas aeruginosa* virulence genes. Proc. Natl. Acad. Sci. USA. 91: 197-201.
- Pearson, J.P., Passador, L., Iglewski, B.H. and Greenberg, P. 1995. A second *N* acylhomoserine lactone signal produced by *Pseudomonas aeruginosa*. Proc. Natl. Acad. Sci. USA. 92: 1490-1494.
- Pearson, J.P., Pesci, E.C. and Iglewski, B.H. 1997. Roles of *Pseudomonas aeruginosa las* and *rhl* quorum-sensing systems in control of elastase and rhamnolipid biosynthesis. J. Bacteriol. 179: 5756-5767.
- Pesci, E.C., Pearson, J.P. Seed, P.C. and Iglewski, B.H. 1997. Regulation of *las* and *rhl* quorum sensing in *Pseudomonas aeruginosa*. J. Bacteriol. 179: 3127-3132.

- Pugsley, A. P. 1993. The complete general secretory pathway in gram-negative bacteria. Microbiol. Rev. 57: 50-108.
- Rahim, R., Ochsner, U.A., Olvera, C., Graninger, M., Messner, P., Lam, J.S. and Soberon-Chavez, G. 2001. Cloning and functional characterization of the *Pseudomonas aeruginosa rhIC* gene that encodes rhamnosyltransferase 2, an enzyme responsible for di-rhamnolipid biosynthesis. Mol. Microbiol. 40: 708-718.
- Rehm, B.H., Kruger, N. and Steinbuchel, A. 1998. A new metabolic link between fatty acid de novo synthesis and polyhydroxyalkanoic acid synthesis. 1998. J. Biol. Chem. 273: 24044-24051.
- Rendell, N.B., Taylor, G.W., Somerville, M., Todd, H., Wilson, R. and Cole, P.J. 1990. Characterisation of *Pseudomonas* rhamnolipids. Biochimica et Biophysica Acta. 1045: 189-193.
- Robert, M., Mercade, M.E., Bosch, M.P., Parra, J.L. Espuny, M.J., Manresa, M.A. and Guinea, J. 1989. Effect of the carbon source on biosurfactant production by *Pseudomonas aeruginosa* 44T. Biotechnol. Lett. 11: 871-874.
- Rosenberg, E. 1993. Exploiting microbial growth on hydrocarbon: new markets. Trends. Biotechnol. 11: 419-424.
- Rosenberg, E. and Ron, E.Z. 1999. High- and low-molecular-mass microbial surfactants. Appl. Microbiol. Biotechnol. 52: 154-162.
- Salmond, G.P.C., Bycroft, B.W., Stewart, G.S.A.B. and Williams, P. 1995. The bacterial enigma: cracking the code of cell-cell communication. Mol. Microbiol. 16: 615-624.
- Sambrook, J. and Russell, D.W. 2001. Molecular Cloning: A Laboratory Manual. 3rd ed. Cold Spring Harbor, New York: Cold Spring Harbor Laboratory Press.
- Sandrin, C., Peypoux, F. and Michel, G. 1990. Coproduction of surfactin and iturin A lipopeptides with surfactant and antifungal properties by *Bacillus subtilis*. Biotechnol. Appl. Biochem. 12: 370-375.
- Sandrin, T.D., Chech, A.M. and Maier, R.M. 2000. A rhamnolipid biosurfactant reduces cadmium toxicity during naphthalene biodegradation. Appl. Environ. Microbiol. 66: 4585-4588.

- Seed, P.C., Passador, L. and Iglewski, B.H. 1995. Activation of the *Pseudomonas aeruginosa lasI* gene by LasR and the *Pseudomonas* autoinducer PAI: an autoinduction regulatory hierarchy. J. Bacteriol. 177: 654-659.
- Scheibenbogen, K., Zytner, R.G., Lee, H. and Trevors, J.T. 1994. Enhanced removal of selected hydrocarbons from soil by *Pseudomonas aeruginosa* UG2 biosurfactant and some chemical surfactants. J. Chem. Tech. Biotechnol. 59: 53-59.
- Shabtai, Y. and Gutnick, D.L. 1986. Enhanced emulsan production in mutants of *Acinetobacter calcoaceticus* RAG-1 selected for resistance to cetyltrimethylammonium bromide. Appl. Environ. Microbiol. 52: 146-151.
- Shine, J. and Dalgarno, L. 1974. The 3'-terminal sequence of *Escherichia coli* 16S ribosomal RNA: complementarity to nonsense triplets and ribosome binding sites. Proc. Natl. Acad. Sci. 71: 1342-1346.
- Shlomai, J. and Kornberg, A. 1978. J. Biol. Chem. 253: 3305-3312.
- Shreve, G.S., Inguva, S. and Gunnam, S. 1995. Rhamnolipid biosurfactant enhancement of hexadecane biodegradation by *Pseudomonas aeruginosa*. Mol. Mar. Biol. Biotechnol. 4: 331-337.
- Sikkema, J., De Bont, J.A.M. and Poolman, B. 1995. Mechanisms of membrane toxicity of hydrocarbons. Microbiol. Rev. 59: 201-222.
- Spilker, T., Coenye, T., Vandamme, P. And Li Puma, J.J. 2004. PCR-based assay for differentiation of *Pseudomonas aeruginosa* from other *Pseudomonas* species recovered from cystic fibrosis patients. J. Clinical. Microbiol. 42: 2074-2079.
- Stanghellini, M.E., Rasmussen, S.L., Kim, D.H. and Rorabaugh, P.A. 1996. Efficacy of nonionic surfactants in the control of zoospore spread of *Pythium aphanidermatum* in a recirculating hydroponic system. Plant. Dis. 80: 422-428.
- Stock, J.B., Ninfa, A.J. and Stock, A.M. 1989. Protein phosphorylation and regulation of adaptive responses in bacteria. Microbiol. Rev. 53: 450-490.
- Stock, J.B., Stock, A.M. and Nottonen, J.M. 1990. Signal transduction in bacteria. Nature (London). 344: 395-400.

- Stover, C.K., Pham, X.-Q.T., Erwin, A.L., Mizoguchi, S.D., Warrenner, P., Hickey, M.J., Brinkman, F.S.L., Hufnagle, W.O., Kowalik, D.J., Lagrou, M., Garber, R.L., Goltry, L., Tolentino, E., Westbrook-Wadman, S., Yuan, Y., Brody, L.L., Coulter, S.N., Folger, K.R., Kas, A., Larbig, K., Lim, R.M., Smith, K.A., Spencer, D.H., Wong, G.K.-S., Wu, Z. and Paulsen, I.T. 2000. Complete genome sequence of *Pseudomonas aeruginosa* PA01, an opportunistic pathogen. Nature 406: 959-964.
- Syldatk, C., Lang, S., Wagner, F., Wray, V. and Witte, L. 1985. Chemical and physical characterization of four interfacial-active rhamnolipids from *Pseudomonas* spec. DSM 2874 grown on n-alkane. Z. Naturforsch. 40: 51-60.
- Tahara, Y., Yamada, Y. and Kondo, K. 1976a. A new lipids; the ornithine and taurine containing 'cerilipin'. Agric. Biol. Chem. 40: 243-244.
- Tahara, Y.K, Yamada, Y. and Kondo, K. 1976b. A new lysine containing lipids isolates from *Agrobacterium tumefaciens*. Agric. Biol. Chem. 40: 1440-1450.
- Tahzibi, A., Kamal, F. and Assadi, M.M. 2004. Improved production of rhamnolipids by a *Pseudomonas aeruginosa* mutant. Iran. Biomed. J. 8: 25-31.
- Tan, H., Champion, J.T., Artiola, J.F., Brusseau, M.L. and Miller, R.M. 1994. Complexation of cadmium by a rhamnolipid biosurfactant. Environ. Sci. Technol. 28: 2402-2406.
- Thai, L.T. and Maier, W.J. 1992. Solubilization and biodegradation of octadecane in the presence of two commercial surfactants. Proceedings of the 47th Annual Purdue University Industrial waste Conference. Ann. Arbor. Press. Chelsea. Mich
- Thangamani, S. and Shreve, G.S. 1994. Effect of anionic biosurfactant on hexadecane partitioning in multiphase systems. Environ. Sci. Technol. 28; 1993-2000.
- Toder, D.S., Gambello, M.J. and Iglewski, B.H. 1991. *Pseudomonas aeruginosa* LasA; a second elastase gene under transcriptional control of *lasR*. Mol. Microbiol. 5: 2003-2010.
- Torrens, J.L., Herman, D.C. and Miller-Maier, R.M. 1998. Biosurfactant (rhamnolipid) sorption and the impact on rhamnolipid-facilitated removal of cadmium from various soils. Environ. Sci. Technol. 32: 776-781.

- Van Dam, R.A., Barry, M.J., Ahokas, J.T. and Holdway, D.A. 1999. Investigating mechanisms of diethylenetriamine pentaacetic acid (DTPA) toxicity to the cladoceran, *Daphnia carinata*. *Aqua Toxicol.* 46: 191-210.
- Van Dyke, M.I., Couture, P., Brauer, M., Lee, H. and Trevors, J.T. 1993. *Pseudomonas aeruginosa* UG2 rhamnolipid biosurfactants: structural characterization and their use in removing hydrophobic compounds from soil. *Can. J. Microbiol.* 39: 1071-1078.
- Van Dyke, M.I., Lee, H. and Trevors, J.T. 1991. Application of microbial surfactants. *Biotechnol Adv.* 9: 241-252.
- Volkering, F. 1996. Bioavailability and biodegradation of polycyclic aromatic hydrocarbons. Ph.D. Thesis, Wageningen Agricultural University, The Netherlands.
- Volkering, F., Breure, A.M. and Rulkens, W.H. 1998. Microbiological aspects of surfactant use for biological soil remediation. *Biodegradation* 8: 401-417.
- Vollenbroich, D., Pauli, G., Ozel, M. and Vater, J., 1997. Antimycoplasma properties and application on cell cultures of surfactin, a lipopeptide antibiotic from *Bacillus subtilis*. *Appl. Environ. Microbiol.* 63: 44-49.
- Wagner, F., Kim, J.S., Lang, S., Li, Z.Y., Mawede, G., Matulovic, U., Ristau, E. and Syldatk, C. 1984. Production of surface active compounds by resting and immobilized microbial cells. p. 1-8.
- West, C.C. and Harwell, J.H. 1992. Surfactants and subsurface remediation. *Environ. Sci. Technol.* 26: 2324-2330.
- Whiteley, M. and Greenberg, E.P. 2001. Promoter specificity elements in *Pseudomonas aeruginosa* quorum-sensing-controlled genes. 183: 5529-5534.
- Whiteley, M., Lee, K.M. and Greenberg, E.P. 1999. Identification of genes controlled by quorum sensing in *Pseudomonas aeruginosa*. *Proc. Natt. Acad. Sci. USA.* 96: 13904-13909.
- Widada, J., Nojiri, H., Kasuga, K., Yoshida, T., Habe, H. and Omori, T. 2002. Molecular detection and diversity of polycyclic aromatic hydrocarbon degrading bacteria isolated from geographically diverse sites. *Appl. Microbiol. Biotechnol.* 58: 202-209.

- Wintzingerode, F., Landt, O., Ehrlich, A. and Göbel, U.B. 2000. Peptide nucleic acid-mediated PCR clamping as a useful supplement in the determination of microbial diversity. Appl. Environ. Microbiol. 66: 549-557.
- Woods, D.R. and Reid, S.J. 1993. FEMS Microbiol. Rev. 11: 273-284.
- Yamagushi, M., Sato, A. and Yukuyama, A. 1976. Microbial production of sugar-lipids. Chem. Ind. 4: 741-742.
- Zhang, Y. and Miller, R.M. 1992. Enhanced Octadecane dispersion and biodegradation by a *Pseudomonas* rhamnolipids surfactant (Biosurfactant). Appl. Environ. Microbiol. 58: 3276-3282.
- Zhang, Y. and Miller, R.M. 1994. Effect of a *Pseudomonas* rhamnolipid biosurfactant on cell hydrophobicity and biodegradation of octadecane. Appl. Environ. Microbiol. 60: 2101-2106.
- Zhang, Z. and Pierson, L.S. 2001. A second quorum-sensing system regulates cell surface properties but not phenazine antibiotic production in *Pseudomonas aureofaciens*. Appl. Environ. Microbiol. 67: 4305-4315.

ภาคผนวก

ภาคผนวก ก

สูตรและวิธีการเตรียมอาหารเลี้ยงเชื้อ

1. อาหารเลี้ยงเชื้อเหลว Luria-Bertani (LB broth)

ทริปโตน (trytone)	10.0	กรัม
ผงสกัดจากยีสต์ (yeast extract)	5.0	กรัม
โซเดียมคลอไรด์ (NaCl)	5.0	กรัม

ละลายสารสามชนิดในน้ำกลั่นปริมาตร 1,000 มล. ปรับค่าความเป็นกรด-ด่างด้วยสารละลายโซเดียมไฮดรอกไซด์ความเข้มข้น 1 นอร์มัล เป็น 7.5 นำไปนึ่งฆ่าเชื้อด้วยความดันไอน้ำ 15 ปอนด์ต่อตารางนิ้ว อุณหภูมิ 121 °ซ เป็นเวลา 20 นาที

2. อาหารเลี้ยงเชื้อแข็ง Luria-Bertani (LB agar)

เตรียมอาหารด้วยวิธีเดียวกับอาหารเลี้ยงเชื้อเหลว LB แต่ละลายวุ้น 15 กรัมต่ออาหาร 1 ลิตร เพิ่มลงไป จากนั้นนำไปนึ่งฆ่าเชื้อด้วยความดันไอน้ำ 15 ปอนด์ต่อตารางนิ้ว อุณหภูมิ 121 °ซ เป็นเวลา 20 นาที

3. อาหารเลี้ยงเชื้อเหลว 2YT (2YT broth)

ทริปโตน (trytone)	160	กรัม
ผงสกัดจากยีสต์ (yeast extract)	10.0	กรัม
โซเดียมคลอไรด์ (NaCl)	5.0	กรัม

ละลายสารสามชนิดในน้ำกลั่นปริมาตร 1,000 มล. ปรับค่าความเป็นกรด-ด่างด้วยสารละลายโซเดียมไฮดรอกไซด์ความเข้มข้น 1 นอร์มัล เป็น 7.5 นำไปนึ่งฆ่าเชื้อด้วยความดันไอน้ำ 15 ปอนด์ต่อตารางนิ้ว อุณหภูมิ 121 °ซ เป็นเวลา 20 นาที

ภาคผนวก ข

สารเคมีและอุปกรณ์ที่ใช้ในการทดลอง

1. กาลิเซอรอล

นำกาลิเซอรอลมาหนึ่งฝาเชื่อมด้วยความดันไอ 15 ปอนด์ต่อตารางนิ้ว อุณหภูมิ 121 °ซ เป็นเวลา 20 นาที ตั้งทิ้งไว้ที่อุณหภูมิห้องเป็นเวลา 24 ชั่วโมง แล้วหนึ่งฝาเชื่อมซ้ำอีกรอบหนึ่ง

2. สารปฏิชีวนะ

แอมพิซิลลินความเข้มข้น 100 มก./น้ำ 1 มล. ทำให้ปลอดเชื้อโดยการกรองสารละลายผ่านชุดกรองสำเร็จรูปชนิดเซลลูโลสอะซีเตทขนาดรูกว้าง 0.45 ไมครอนเมตร เก็บรักษาไว้ในหลอดไมโครพีพิจ์ที่อุณหภูมิ -20°ซ เมื่อนำมาใช้แล้วเก็บที่อุณหภูมิ 4°ซ ได้นาน 1 เดือน

3. ชุดสกัดพลาสมิดปริมาณน้อย QIAprep Spin Miniprep Kit

ประกอบด้วย

- Buffer P1
- Buffer P2
- Buffer N3
- Buffer PB
- Buffer PE (concentrate)
- Buffer EB
- Rnase A
- Collection tube
- QIAprep Spin column

ก่อนใช้ชุดสกัดพลาสมิดครั้งแรกให้เติม Rnase A ปริมาตร 20 ไมโครลิตร ลงใน Buffer P1 และเก็บรักษาไว้ที่อุณหภูมิ 4 °C และเติมเอธานอลปริมาตร 24 มล. ลงใน Buffer PE

4. ชุดสกัดดีเอ็นเอออกจากอะกาโรสเจล QIAquick® Gel Extraction kit

ประกอบด้วย

- Buffer QG
- Buffer PE (concentrate)
- Buffer EB
- Collection tube
- QIAquick Spin colum

ก่อนใช้ชุดสกัดดีเอ็นเอออกจากอะกาโรสเจลให้เติมเอธานอลปริมาตร 24 มล. ลงใน Buffer PE ทำการสกัดดีเอ็นเอตามกรรมวิธีที่ให้โดยบริษัทผู้ผลิต

5. สารละลาย 10%SDS

ซึ่ง sodium dodecyl sulfate น้ำหนัก 10 กรัม ค่อยๆ ละลายในน้ำปลอดประจุที่อุณหภูมิ 60°C ปริมาตร 80 มล. เมื่อละลายหมดเติมน้ำปลอดประจุให้ครบปริมาตร 100 มล. นำไปนึ่งฆ่าเชื้อด้วยความดันไอน้ำ 15 ปอนด์ต่อตารางนิ้ว อุณหภูมิ 121 °C เป็นเวลา 20 นาที (หลังจากนึ่งฆ่าเชื้อครั้งแรกแล้วจะไม่สามารถนำไปนึ่งฆ่าเชื้อซ้ำได้อีกเพราะสารละลาย SDS จะเสียสภาพ)

6. Denaturation buffer

โซเดียมไฮดรอกไซด์	0.5	โมลาร์
โซเดียมคลอไรด์	1.5	โมลาร์

ละลายโซเดียมคลอไรด์ในน้ำปลอดประจุปริมาตร 800 มล. จนหมดแล้วจึงละลายโซเดียมไฮดรอกไซด์ เติมน้ำปลอดประจุจนครบปริมาตร 1,000 มล. นำไปนึ่งฆ่าเชื้อด้วยความดันไอ 15 ปอนด์ต่อตารางนิ้ว อุณหภูมิ 121 °ซ เป็นเวลา 20 นาที

7. Neutralization buffer

Trismabase	0.5	โมลาร์
โซเดียมคลอไรด์	3.0	โมลาร์

ผสมสารทั้งหมดเข้าด้วยกันในน้ำปลอดประจุปริมาตร 800 มล. ปรับค่าความเป็นกรด-ด่างเป็น 7.0 ด้วยกรดไฮโดรคลอริกเข้มข้น เติมน้ำปลอดประจุจนครบปริมาตร 1,000 มล. นำไปนึ่งฆ่าเชื้อด้วยความดันไอ 15 ปอนด์ต่อตารางนิ้ว อุณหภูมิ 121 °ซ เป็นเวลา 20 นาที

8. สารละลาย 20XSSC

โซเดียมคลอไรด์	3.0	โมลาร์
โซเดียมอะซิเตต (CH_3COONa)	0.3	โมลาร์

ผสมสารทั้งหมดเข้าด้วยกันในน้ำปลอดประจุปริมาตร 800 มล. ปรับค่าความเป็นกรด-ด่างเป็น 7.0 เติมน้ำปลอดประจุเป็นปริมาตร 1,000 มล. นำไปนึ่งฆ่าเชื้อด้วยความดันไอ 15 ปอนด์ต่อตารางนิ้ว อุณหภูมิ 121 °ซ เป็นเวลา 20 นาที

9. สารละลาย 2XSSC

ละลาย 20XSSC ปริมาตร 10 มล. ในน้ำปลอดประจุให้ครบปริมาตร 100 มล. ผสมให้เข้ากัน นำไปนึ่งฆ่าเชื้อด้วยความดันไอน้ำ 15 ปอนด์ต่อตารางนิ้ว อุณหภูมิ 121 °C เป็นเวลา 20 นาที

10. สารละลาย 2XSSC/0.1% SDS

ละลาย 20XSSC ปริมาตร 10 มล. ในน้ำปลอดประจุ 89 มล. ผสมให้เข้ากัน นำไปนึ่งฆ่าเชื้อด้วยความดันไอน้ำ 15 ปอนด์ต่อตารางนิ้ว อุณหภูมิ 121 °C เป็นเวลา 20 นาที จากนั้นเติมสารละลาย 0.1% SDS ปริมาตร 1 มล. ควรเตรียมใหม่ทุกครั้งที่ทำทดลอง

11. สารละลาย 0.5XSSC/0.1% SDS

ละลาย 20XSSC ปริมาตร 2.5 มล. ในน้ำปลอดประจุ 96.5 มล. ผสมให้เข้ากัน นำไปนึ่งฆ่าเชื้อด้วยความดันไอน้ำ 15 ปอนด์ต่อตารางนิ้ว อุณหภูมิ 121 °C เป็นเวลา 20 นาที จากนั้นเติมสารละลาย 0.1% SDS ปริมาตร 1 มล. ควรเตรียมใหม่ทุกครั้งที่ทำทดลอง

12. ชุดติดฉลากและติดตามตำแหน่งดีเอ็นเอ DIG High Prime DNA labeling and detection starter kit I (Roche, Germany)

ประกอบด้วย

- | | |
|----------------|--|
| หลอดหมายเลข 1. | DIG-High Prime, 5Xconc. |
| หลอดหมายเลข 2. | DIG-labeled control DNA 5 µg/ml |
| หลอดหมายเลข 3. | DNA dilution buffer |
| หลอดหมายเลข 4. | Anti-Digoxigenin-AP Conjugate 750 U/ml |
| หลอดหมายเลข 5. | NBT/BCIP, 50X conc. |
| ขวดหมายเลข 6. | Blocking solution, 10X conc. |
| ขวดหมายเลข 7. | DIG Easy Hyb Granules (add 64 ml sterile double distilled water, dissolve at 37°C) |

และสารละลายที่ต้องเตรียมเพิ่มในการทดลองเป็นดังนี้

Maleic acid buffer

กรดมาเลอิก	0.1	โมลาร์
โซเดียมคลอไรด์	0.15	โมลาร์

ผสมสารทั้งหมดเข้าด้วยกันในน้ำปลอดประจุปริมาตร 800 มล. ปรับค่าความเป็นกรด-ด่าง ด้วยเกลือโซเดียมไฮดรอกไซด์เป็น 7.5 เติมน้ำปลอดประจุจนเป็นปริมาตร 1,000 มล. นำไปนึ่งฆ่าเชื้อ ด้วยความดันไอ 15 ปอนด์ต่อตารางนิ้ว อุณหภูมิ 121^oซ เป็นเวลา 20 นาที

Blocking solution

ละลาย 10X blocking solution ใน Maleic acid buffer ที่นึ่งฆ่าเชื้อแล้วด้วยอัตราส่วน 1 ต่อ 9 (ปริมาตรต่อปริมาตร) ควรเตรียมใหม่ทุกครั้งที่ทำการศึกษาทดลอง

Detection buffer

Trismabase	0.1	โมลาร์
โซเดียมคลอไรด์	0.1	โมลาร์

ผสมสารทั้งหมดเข้าด้วยกันในน้ำปลอดประจุปริมาตร 800 มล. ปรับค่าความเป็นกรด-ด่าง ด้วยกรดไฮโดรคลอริกเข้มข้นให้เป็น 9.5 เติมน้ำปลอดประจุจนเป็นปริมาตร 1,000 มล. นำไปนึ่งฆ่าเชื้อด้วยความดันไอ 15 ปอนด์ต่อตารางนิ้ว อุณหภูมิ 121^oซ เป็นเวลา 20 นาที

13. สารละลาย Tris-HCl เข้มข้น 1.0 โมลาร์ ความเป็นกรด-ด่างเป็น 8.0

Trismabase ($C_4H_{11}NO_3$)	121.1	กรัม
กรดไฮโดรคลอริกเข้มข้น	42	มล.

ละลาย Trismabase ในน้ำปลอดประจุปริมาตร 800 มล. จากนั้นเติมกรดไฮโดรคลอริกเข้มข้น คนให้เข้ากันรอให้เย็นลงแล้วจึงปรับค่าความเป็นกรด-ด่างด้วยกรดไฮโดรคลอริกเข้มข้นให้เป็น 8.0 เติมน้ำปลอดประจุจนเป็นปริมาตร 1,000 มล. นำไปนึ่งฆ่าเชื้อด้วยความดันไอน้ำ 15 ปอนด์ต่อตารางนิ้ว อุณหภูมิ 121 °ซ เป็นเวลา 20 นาที

14. สารละลาย EDTA เข้มข้น 0.5 โมลาร์ ความเป็นกรด-ด่างเป็น 8.0

EDTA ($C_{10}H_{14}N_2O_8Na_2 \cdot 2H_2O$)	186.1	กรัม
โซเดียมไฮดรอกไซด์	20	กรัม

ละลาย EDTA ในน้ำปลอดประจุปริมาตร 800 มล. จากนั้นเติมเกล็ดโซเดียมไฮดรอกไซด์คน ให้เข้ากันรอให้เย็นลงแล้วจึงปรับค่าความเป็นกรด-ด่างด้วยกรดไฮโดรคลอริกเข้มข้นให้เป็น 8.0 เติมน้ำปลอดประจุจนเป็นปริมาตร 1,000 มล. นำไปนึ่งฆ่าเชื้อด้วยความดันไอน้ำ 15 ปอนด์ต่อตารางนิ้ว อุณหภูมิ 121 °ซ เป็นเวลา 20 นาที

15. บัฟเฟอร์ TE ความเป็นกรด-ด่างเป็น 8.0

Tris-HCl	10.0	มิลลิโมลาร์
EDTA	1.0	มิลลิโมลาร์

ผสมสารละลาย Tris-HCl เข้มข้น 1.0 โมลาร์ ความเป็นกรด-ด่างเป็น 8.0 ปริมาตร 10 มล. เข้ากับสารละลาย EDTA เข้มข้น 0.5 โมลาร์ ความเป็นกรด-ด่างเป็น 8.0 ปริมาตร 2 มล. เติมน้ำปลอดประจุจนเป็นปริมาตร 1,000 มล. นำไปนึ่งฆ่าเชื้อด้วยความดันไอน้ำ 15 ปอนด์ต่อตารางนิ้ว อุณหภูมิ 121 °ซ เป็นเวลา 20 นาที

16. บัฟเฟอร์ 50X Tris-acetate (TAE)

Tris base	242	กรัม
กรดอะซีติกเข้มข้น	57.1	มล.
สารละลาย EDTA เข้มข้น 0.5 โมลาร์ pH 8.0	100	มล.

ละลายส่วนผสมทั้งหมดในน้ำปลอดประจุปริมาตร 800 มล. แล้วเติมน้ำปลอดประจุจนเป็นปริมาตร 1,000 มล. นำไปนึ่งฆ่าเชื้อด้วยความดันไอ 15 ปอนด์ต่อตารางนิ้ว อุณหภูมิ 121 °C เป็นเวลา 20 นาที

17. สารละลาย CTAB/NaCl (10%CTAB ใน 0.7 M NaCl)

CTAB	10	กรัม
โซเดียมคลอไรด์	0.7	โมลาร์

ละลาย CTAB ในน้ำปลอดประจุที่อุณหภูมิ 60 °C ปริมาตร 80 มล. จากนั้นเติมสารละลายโซเดียมคลอไรด์ เมื่อละลายหมดแล้วเติมน้ำปลอดประจุจนเป็นปริมาตร 100 มล. นำไปนึ่งฆ่าเชื้อด้วยความดันไอ 15 ปอนด์ต่อตารางนิ้ว อุณหภูมิ 121 °C เป็นเวลา 20 นาที

18. สารละลายฟีนอล (phenol)

นำฟีนอลในรูปเกล็ดของแข็งมาหลอมเหลวในน้ำอุ่นที่ 68 °C จากนั้นเติมผง Hydroxy quinoline ให้ได้ความเข้มข้นสุดท้ายเป็น 0.1% แล้วเติม Tris-HCl เข้มข้น 1 โมลาร์ ความเป็นกรด-ด่างเป็น 8.0 ในอัตราส่วน 1:1 (ปริมาตรต่อปริมาตร) เขย่าให้เข้ากันแล้วตั้งทิ้งไว้เป็นเวลาข้ามคืน ดูชั้นฟีนอลมาวัดความเป็นกรด-ด่างให้ได้เท่ากับมากกว่า 7.8 (ใช้ pH paper วัด) ถ้ายังไม่ได้ให้ดูดสารละลายชั้นบนทิ้งแล้วเติม Tris-HCl เข้มข้น 1 โมลาร์ ความเป็นกรด-ด่างเป็น 8.0 ลงไปอีกครั้ง ทำเช่นนี้ต่อไปเรื่อยๆจนกระทั่งชั้นฟีนอลมีความเป็นกรด-ด่างมากกว่าหรือเท่ากับ 7.8 สุดท้ายเติมบัฟเฟอร์ TE ความเป็นกรด-ด่างเป็น 8.0 ในอัตราส่วน 1:1 อีกครั้ง เก็บที่อุณหภูมิ 4 °C ในขวดสีชาที่ปิดฝาแน่น

19. สารละลายฟีนอล/คลอโรฟอร์ม/ไอโซเอมิลแอลกอฮอล์

ผสมสารละลายฟีนอลอิ่มตัวด้วย Tris-HCl เข้ากับคลอโรฟอร์มและไอโซเอมิลแอลกอฮอล์ในอัตราส่วน ฟีนอล : คลอโรฟอร์ม : ไอโซเอมิลแอลกอฮอล์ เป็น 25 : 24 : 1 (ปริมาตรต่อปริมาตรต่อปริมาตร) ผสมให้เข้ากัน เก็บไว้ในขวดสีชาที่อุณหภูมิ 4^oC

20. สารละลายคลอโรฟอร์ม/ไอโซเอมิลแอลกอฮอล์

ผสมคลอโรฟอร์มและไอโซเอมิลแอลกอฮอล์เข้าด้วยกันในอัตราส่วน 24 : 1 (ปริมาตรต่อปริมาตร) เก็บไว้ในที่อุณหภูมิ 4^oC

21. สารละลายสำหรับการสกัดพลาสมิด

สารละลาย I

กลูโคส	50	มิลลิโมลาร์
สารละลาย Tris-HCl ความเป็นกรด-ด่างเป็น 8.0	25	มิลลิโมลาร์
สารละลาย EDTA ความเป็นกรด-ด่างเป็น 8.0	10	มิลลิโมลาร์

ผสมส่วนผสมทั้งหมดเข้าด้วยกันแล้วเติมน้ำปลอดประจุให้ครบปริมาตร 1,000 มล. นำไปปั่นฆ่าเชื้อด้วยความดันไอน้ำ 15 ปอนด์ต่อตารางนิ้ว อุณหภูมิ 121^oC เป็นเวลา 20 นาที

สารละลาย II

ผสมสารละลายโซเดียมไฮดรอกไซด์ เข้มข้น 10 นอร์มัล ปริมาตร 0.2 มล. เข้ากับน้ำปลอดประจุปลอดเชื้อปริมาตร 8.8 มล. แล้วเติมสารละลาย 10% SDS ปริมาตร 1.0 มล. เตรียมใหม่ก่อนใช้ทุกครั้ง



สารละลาย III

ผสมสารละลายโพแทสเซียมอะซีเตทเข้มข้น 5.0 โมลาร์ ปริมาตร 50 มล. กับกรดอะซีติกเข้มข้นปริมาตร 11.50 มล. ปล่อยให้ด้วยความดันไอ 15 ปอนด์ต่อตารางนิ้ว อุณหภูมิ 121^oซ เป็นเวลา 20 นาที

22. Loading dye

Bromphenolblue	0.025%
ซูโคส	40 %

ละลายส่วนผสมในน้ำปลอดประจุปลอดเชื้อ เก็บรักษาที่อุณหภูมิ 4^oซ

23. สารละลายเอธิเดียมโบรไมด์ในบัฟเฟอร์ TAE

ละลายผงเอธิเดียมโบรไมด์ในบัฟเฟอร์ TAE ให้มีความเข้มข้นสุดท้ายเท่ากับ 10 ไมโครกรัมต่อมิลลิลิตร เก็บในภาชนะที่ปิดสนิทในที่มืด

24. สารละลายไซเตียมอะซีเตทเข้มข้น 3 โมลาร์ ความเป็นกรด-ด่างเท่ากับ 5.2

ละลายไซเตียมอะซีเตท น้ำหนัก 204 กรัม ในน้ำปลอดประจุให้ได้ปริมาตรประมาณ 400 มล. นำไปปรับค่าความเป็นกรด-ด่างให้เป็น 5.2 ด้วยกรดอะซีติกปริมาตรประมาณ 57 มล. เติมน้ำปลอดประจุให้ได้ปริมาตรครบ 500 มล. นำไปปล่อยให้ด้วยความดันไอ 15 ปอนด์ต่อตารางนิ้ว อุณหภูมิ 121^oซ เป็นเวลา 20 นาที

25. สารละลายโปรตีนเนสเค (proteinaseK) ความเข้มข้น 20 มิลลิกรัมต่อมิลลิลิตร

ละลายผงโปรตีนเนสเค น้ำหนัก 20 มก. ในน้ำปลอดประจุปลอดเชื้อให้ครบปริมาตร 1 มล. เก็บที่อุณหภูมิ -20^oซ

26. สารละลาย RNase A เข้มข้น 10 มิลลิกรัมต่อมิลลิลิตร

ละลายผง RNase A น้ำหนัก 10 มก. ในน้ำปลอดประจุปลอดเชื้อให้ครบปริมาตร 1 มล. เก็บที่อุณหภูมิต่ำ -20°C

27. สารละลาย X-gal ความเข้มข้น 50 มิลลิกรัมต่อมิลลิลิตร

ละลายผง X-gal น้ำหนัก 500 มก. ในสารละลาย dimethylformamide ให้ครบปริมาตร 10 มล. เก็บที่อุณหภูมิต่ำ -20°C ในหลอดปิดสนิทและมีมืด

28. สารละลาย IPTG ความเข้มข้น 0.1 โมลาร์

ละลายผง IPTG น้ำหนัก 0.2 กรัม ในน้ำปลอดประจุให้ครบปริมาตร 10 มล. กรองผ่านหัวกรองฆ่าเชื้อ เก็บที่อุณหภูมิต่ำ -20°C

29. สารละลายผสม dNTP ความเข้มข้น 10 มิลลิโมลาร์ (ของแต่ละตัว)

ผสม dNTP, dGTP, dCTP และ dTTP ความเข้มข้น 100 มิลลิโมลาร์ ด้วยปริมาตรสารละลาย 10 ไมโครลิตร เข้าด้วยกันแล้วปรับปริมาตรสุดท้ายด้วยน้ำปลอดประจุปลอดเชื้อให้เป็น 100 ไมโครลิตร เก็บรักษาไว้ที่อุณหภูมิต่ำ -20°C

30. ถุงไดอิเล็กทริกสำหรับทำ Electroelution

แช่ถุงไดอิเล็กทริกที่ตัดให้ยาวประมาณ 6 เซนติเมตร ในสารละลาย 3% โซเดียมโบรไมด์คาร์บอกเนท ใน 1 mM EDTA ความเป็นกรด-ด่างเป็น 8.0 นำไปนึ่งฆ่าเชื้อด้วยความดันไอน้ำ 15 ปอนด์ต่อตารางนิ้ว ที่อุณหภูมิต่ำ 121°C เป็นเวลา 20 นาที จากนั้นล้างถุงไดอิเล็กทริกด้วยน้ำปลอดประจุปลอดเชื้อ ย้ายถุงไดอิเล็กทริกไปแช่ในสารละลาย 1 mM EDTA ความเป็นกรด-ด่างเป็น 8.0 นำไปนึ่งฆ่าเชื้อด้วยความดันไอน้ำ 15 ปอนด์ต่อตารางนิ้ว ที่อุณหภูมิต่ำ 121°C เป็นเวลา 20 นาทีอีกครั้ง ทิ้งให้เย็นที่อุณหภูมิต่ำ 4°C

ภาคผนวก ค

การเปรียบเทียบความเหมือนและหาบริเวณอนุรักษ์โดยโปรแกรม BlastN

1. ผลจากการเปรียบเทียบความเหมือนของลำดับนิวคลีโอไทด์ 16 เอส ไรโบโซมอลดีเอ็นเอ (16S rDNA) ของ *Pseudomonas* sp. A41 โดยโปรแกรม BlastN

Query หมายถึง 16 เอสไรโบโซมอลดีเอ็นเอ (16S rDNA) ของ *P. aeruginosa* A41

Sbjct หมายถึง 16 เอสไรโบโซมอลดีเอ็นเอ (16S rDNA) ของ *P. aeruginosa* PAO1

[gi|9946537|gb|AE004501.1|](#) *Pseudomonas aeruginosa* PAO1, section 62 of 529 of the complete genome Length = 10832

Score = 2835 bits (1430), Expect = 0.0
Identities = 1430/1430 (100%)
Strand = Plus / Plus

```

Query: 1      ggcaggcctaacacatgcaagtcgagcggatgaagggagcttgctcctggattcagcggc 60
            |||
Sbjct: 8949   ggcaggcctaacacatgcaagtcgagcggatgaagggagcttgctcctggattcagcggc 9008

Query: 61      ggacgggtgagtaatgcctaggaatctgcctggtagtgggggataacgtccggaacggg 120
            |||
Sbjct: 9009   ggacgggtgagtaatgcctaggaatctgcctggtagtgggggataacgtccggaacggg 9068

Query: 121     cgctaataccgcatacgtcctgagggagaaaagtgggggatcttcggacctcacgctatca 180
            |||
Sbjct: 9069   cgctaataccgcatacgtcctgagggagaaaagtgggggatcttcggacctcacgctatca 9128

Query: 181     gatgagcctaggtcggattagctagttggtggggtaaaggcctaccaaggcgacgatccg 240
            |||
Sbjct: 9129   gatgagcctaggtcggattagctagttggtggggtaaaggcctaccaaggcgacgatccg 9188

Query: 241     taactggtctgagaggatgatcagtcacactggaactgagacacgggtccagactcctacg 300
            |||
Sbjct: 9189   taactggtctgagaggatgatcagtcacactggaactgagacacgggtccagactcctacg 9248

Query: 301     ggaggcagcagtggggaatattggacaatgggcgaaagcctgatccagccatgccgcgtg 360
            |||
Sbjct: 9249   ggaggcagcagtggggaatattggacaatgggcgaaagcctgatccagccatgccgcgtg 9308

Query: 361     tgtgaagaaggtccttcgattgtaaaagcactttaagttgggaggaagggcagtaagttaa 420
            |||
Sbjct: 9309   tgtgaagaaggtccttcgattgtaaaagcactttaagttgggaggaagggcagtaagttaa 9368

Query: 421     taccttgctgttttgacgttaccaacagaataagcaccggctaacttcgtgccagcagcc 480
            |||
Sbjct: 9369   taccttgctgttttgacgttaccaacagaataagcaccggctaacttcgtgccagcagcc 9428

Query: 481     gcggttaatacgaagggtgcaagcgttaatcggaattactggcgtaaaagcgcgcgtaggt 540
            |||
Sbjct: 9429   gcggttaatacgaagggtgcaagcgttaatcggaattactggcgtaaaagcgcgcgtaggt 9488

```

Query: 541 ggttcagcaagttggatgtgaaatccccgggctcaacctgggaactgcatccaaaactac 600
 |||
 Sbjct: 9489 ggttcagcaagttggatgtgaaatccccgggctcaacctgggaactgcatccaaaactac 9548

Query: 601 tgagctagagtagcggtagagggtggggaatttctctgttagcggtgaaatgcgtagata 660
 |||
 Sbjct: 9549 tgagctagagtagcggtagagggtggggaatttctctgttagcggtgaaatgcgtagata 9608

Query: 661 taggaaggaacaccagtgggcgaaggcgaccacctggactgatactgacactgaggtgcga 720
 |||
 Sbjct: 9609 taggaaggaacaccagtgggcgaaggcgaccacctggactgatactgacactgaggtgcga 9668

Query: 721 aagcgtggggagcaaacaggattagataccctggtagtccacgccgtaaacgatgtcgac 780
 |||
 Sbjct: 9669 aagcgtggggagcaaacaggattagataccctggtagtccacgccgtaaacgatgtcgac 9728

Query: 781 tagccgttgggatccttgagatcttagtggcgcagctaacgcgataagtcgaccgcctgg 840
 |||
 Sbjct: 9729 tagccgttgggatccttgagatcttagtggcgcagctaacgcgataagtcgaccgcctgg 9788

Query: 841 ggagtacggccgcaaggttaaaactcaaataaattgacgggggcccgcacaagcggtgga 900
 |||
 Sbjct: 9789 ggagtacggccgcaaggttaaaactcaaataaattgacgggggcccgcacaagcggtgga 9848

Query: 901 gcatgtggtttaattcgaagcaacgcgaagaaccttacctggccttgacatgctgagaac 960
 |||
 Sbjct: 9849 gcatgtggtttaattcgaagcaacgcgaagaaccttacctggccttgacatgctgagaac 9908

Query: 961 tttccagagatggattggtgccttcgggaactcagacacaggtgctgcatggctgtcgtc 1020
 |||
 Sbjct: 9909 tttccagagatggattggtgccttcgggaactcagacacaggtgctgcatggctgtcgtc 9968

Query: 1021 agctcgtgctgtagatggtgggttaagtcccgtaacgagcgcaacccttgccttagtt 1080
 |||
 Sbjct: 9969 agctcgtgctgtagatggtgggttaagtcccgtaacgagcgcaacccttgccttagtt 10028

Query: 1081 accagcacctcgggtgggcactctaaggagactgccggtgacaaaccggaggaaggtggg 1140
 |||
 Sbjct: 10029 accagcacctcgggtgggcactctaaggagactgccggtgacaaaccggaggaaggtggg 10088

Query: 1141 gatgacgtcaagtcacatggcccttacggccagggtacacacgtgctacaatggtcgg 1200
 |||
 Sbjct: 10089 gatgacgtcaagtcacatggcccttacggccagggtacacacgtgctacaatggtcgg 10148

Query: 1201 tacaaggggtgccaagccgaggtggagctaatacccataaaaccgatcgtagtccgga 1260
 |||
 Sbjct: 10149 tacaaggggtgccaagccgaggtggagctaatacccataaaaccgatcgtagtccgga 10208

Query: 1261 tcgcagtctgcaactcgactgctgaagtcggaatcgctagtaatcgtaatcagaatgt 1320
 |||
 Sbjct: 10209 tcgcagtctgcaactcgactgctgaagtcggaatcgctagtaatcgtaatcagaatgt 10268

Query: 1321 cacggtgaatacgttcccgggcttgtacacaccgccgtcacaccatgggagtggttg 1380
 |||
 Sbjct: 10269 cacggtgaatacgttcccgggcttgtacacaccgccgtcacaccatgggagtggttg 10328

Query: 1381 ctccagaagtagctagtctaaccgcaagggggacggttaccacggagtga 1430
 |||
 Sbjct: 10329 ctccagaagtagctagtctaaccgcaagggggacggttaccacggagtga 10378

2. การเปรียบเทียบหาบริเวณอนุรักษ์ของ *rhlA* ของ *Pseudomonas aeruginosa* PAO1 (Stover และคณะ, 2000) กับ *Pseudomonas aeruginosa* PG201 (Ochsner และคณะ, 1994a)

Score = 1679 bits (873), Expect = 0.0, Identities = 881/885 (99%), Strand = Plus / Plus

```

          RA-F →
PAO1 : 1  atgCGGCGcGaaagtctgttggTatcggTttgcaaggGcctgcgggtacatgtcGagcgc 60
          |||
PG201: 1  atgCGGCGcGaaagtctgttggTatcggTttgcaaggGcctgcgggtacatgtcGagcgc 60

PAO1 : 61  gttgggcaggatcccgggCGcagcagcggTgatgctggTcaacggCGcGatggcGaccacc 120
          |||
PG201: 61  gttgggcaggatcccgggCGcagcagcggTgatgctggTcaacggCGcGatggcGaccacc 120

PAO1 : 121 gCctcgTtcGccCGgacctGcaagtGcctggCGcaacatttcaacgTgTgctgttcGac 180
          |||
PG201: 121 gCctcgTtcGccCGgacctGcaagtGcctggCGcaacatttcaacgTgTgctgttcGac 180

PAO1 : 181 ctGcccttcGccCGgCagtcGcgtcagcacaaccCGcagcGgggtgatccaagGac 240
          |||
PG201: 181 ctGcccttcGccCGgCagtcGcgtcagcacaaccCGcagcGgggtgatccaagGac 240

PAO1 : 241 gacGaggtgGaaatcctcctggCGctgatcGagcGcttcGaggtcaatcacctggTctcc 300
          |||
PG201: 241 gacGaggtgGaaatcctcctggCGctgatcGagcGcttcGaggtcaatcacctggTctcc 300

PAO1 : 301 gCGtctggggCGgtatctccacGctgctggCGctgtcGcGcaatccCGcGgcatccCGc 360
          |||
PG201: 301 gCGtctggggCGgtatctccacGctgctggCGctgtcGcGcaatccCGcGgcatccCGc 360

PAO1 : 361 agctcGgtgTgatggcattcGccctggactGaaccaggCGatgctcGactacGtcGgg 420
          |||
PG201: 361 agctcGgtgTgatggcattcGccctggactGaaccaggCGatgctcGactacGtcGgg 420

PAO1 : 421 cgggCGcagGcGctgatcGagctggacGacaagtCGGcGatCGGccatctgctcaacGag 480
          |||
PG201: 421 cgggCGcagGcGctgatcGagctggacGacaagtCGGcGatCGGccatctgctcaacGag 480

PAO1 : 481 accGtcGgcaaatacctGccGcagcGcctGaaaggcagcaaccatcagcacatggcttcG 540
          |||
PG201: 481 accGtcGgcaaatacctGccGcagcGcctGaaaggcagcaaccatcagcacatggcttcG 540

PAO1 : 541 ctggccaccGGcGaaatcGagcagGcGcctttcacatcGaccaggtgctggcGctcaac 600
          |||
PG201: 541 ctggccaccGGcGaaatcGagcagGcGcctttcacatcGaccaggtgctggcGctcaac 600

PAO1 : 601 gatcgggGtacttgGcttGcctggagcGgatccagagccacgtGcatttcatcaacggc 660
          |||
PG201: 601 gatcgggGtacttgGcttGcctggagcGgatccagagccacgtGcatttcatcaacggc 660

PAO1 : 661 agctgggacGaatacaccaccGccgagGacGccCGcagttccGcGactacctGccGcac 720
          |||
PG201: 661 agctgggacGaatacaccaccGccgagGacGccCGcagttccGcGactacctGccGcac 720

PAO1 : 721 tGcagtttctcGcgggtggagggcaccGGcatttctcGacctggagTccaagctggca 780
          |||
PG201: 721 tGcagtttctcGcgggtggagggcaccGGcatttctcGacctggagTccaagctggcc 780

          ← RA-R
PAO1 : 781 gCGgtacGcgtGcaccGcGcctgctcGagcaccTgctgaagcaaccGGagcGcGagcGg 840
          |||
PG201: 781 gCGgtacGcgtGcaccGcGcctgctcGagcaccTgctgaagcaaccGGagcGcGagcGg 840

PAO1 : 841 gCGgaacGcGcggcgggatccacGagatggccatcGgctacGcctga 888
          |||
PG201: 841 gCGgaacGcGcggcgggatccacGagatggccatcGgctacGcctga 888

```


3. การเปรียบเทียบหาบริเวณอนุรักษ์ของ *rhIR* ของ *Pseudomonas aeruginosa* PAO1 (Stover และคณะ, 2000) กับ *Pseudomonas aeruginosa* PG201 (Ochsner และคณะ, 1994b)

Score = 1356 bits (705), Expect = 0.0, Identities = 717/723 (99%), Strand = Plus / Plus

```

          RR-F →
PAO1 : 1  atgaggaatgacggagg|tttttgctgtggtgggacgg|ttgctagcgagatgcagccg 60
          |||
PG201: 1  atgaggaatgacggagg|tttttgctgtggtgggacgg|ttgctagcgagatgcagccg 60

PAO1 : 61  atccacgacagccagggcgtgttcgccgtcctggaaaaggaagtgcggcgcctgggcttc 120
          |||
PG201: 61  atccacgacagccagggcgtgttcgccgtcctggaaaaggaagtgcggcgcctgggcttc 120

PAO1 : 121 gattactacgcctatggcgtgcgccacacgattcccttcacccggccgaagaccgaggtc 180
          |||
PG201: 121 gattactacgcctatggcgtgcgccatcagattcccttcacccggccgaagaccgaggtc 180

PAO1 : 181 catggcacctatcccaaggcctggctggagcgataccagatgcagaactacggggccgtg 240
          |||
PG201: 181 catggcacctatcccaaggcctggctggagcgataccagatgcagaactacggggccgtg 240

PAO1 : 241 gatccggcgatcctcaacggcctgcgctcctcgaaaatggtggtctggagcgacagcctg 300
          |||
PG201: 241 gatccggcgatcctcaacggcctgcgctcctcgaaaatggtggtctggagcgacagcctg 300

PAO1 : 301 ttcgaccagagccggatgctctggaacgaggctcgcgattggggcctctgtgtcggcgcg 360
          |||
PG201: 301 ttcgaccagagccggatgctctggaacgaggctcgcgattggggcctctgtgtcggcgcg 360

PAO1 : 361 accttgccgatccgcgcgccgaacaatttgctcagcgtgctttccgtggcgcgcgaccag 420
          |||
PG201: 361 actttgccgatccgcgcgccgaacaatttgctcagcgtgctttccgtggcgcgcgaccag 420

PAO1 : 421 cagaacatctccagcttcgagcgcgaggaaaatccgcctgcggctgcg|ttgcatgatcgag 480
          |||
PG201: 421 cagaacatctccagcttcgagcgcgaggaaaatccgcctgcggctgcg|ttgcatgatcgag 480

PAO1 : 481 ttgctgacccagaagctgaccgacctggagcatccgatgctgatgtccaaccgggtctgc 540
          |||
PG201: 481 ttgctgacccagaagctgaccgacctggagcatccgatgctgatgtccaaccgggtctgc 540

PAO1 : 541 ctgagccatcgcgaaacgcgagatcctgcaatggaccgccgacggcaagagttccggggaa 600
          |||
PG201: 541 ctgagccatcgcgaaacgcgagatcctgcaatggaccgccgacggcaagagttccggggaa 600

PAO1 : 601 atcgccatcatcctgagcatctccgagagcacggtgaactccaccacaagaacatccag 660
          |||
PG201: 601 atcgccatcatcctgagcatttccgagagcacggtgaactccaccacaagaacatccag 660

          ← RR-R
PAO1 : 661 aagaagttcgacgcgcgca|acaagacgctggctg|cctacgcgcggcgctgggtctc 720
          |||
PG201: 661 aagaagttcgacgcgcgca|acaagacgctggctg|cctacgcgcggcgctgggtctc 720

PAO1 : 721 atc 723
          |||
PG201: 721 atc 723

```

การเปรียบเทียบความคล้ายของกรดอะมิโนโดยโปรแกรม

BlastX version 2.2.9

Query หมายถึง ลำดับกรดอะมิโนในงานวิจัยนี้
 Sbjct หมายถึง ลำดับกรดอะมิโนที่เปรียบเทียบใน GenBank
 + หมายถึง กรดอะมิโนในกลุ่มเดียวกัน

4. ผลจากการเทียบความคล้ายของกรดอะมิโนบางส่วนของผลิตภัณฑ์ที่ได้จากปฏิกิริยา ปลูกไข่พอลิเมอร์ของ *rhIA* จากจีโนมิกดีเอ็นเอของ *Pseudomonas* sp. A41 โดยใช้ ไพร์เมอร์ RA-F และ RA-R

gi|9949623|gb|AAG06867.1| rhamnosyltransferase chain A [*Pseudomonas aeruginosa*
 PA01] Length = 295

Score = 251 bits (640), Expect = 4e-66
 Identities = 126/126 (100%), Positives = 126/126 (100%)
 Frame = +2

Query: 2 LRVHVERVGQDPGRSTVMLVNGAMATTASFARTCKCLAEHFNVVLFDLPFAGQSRQHNPQ 181
 LRVHVERVGQDPGRSTVMLVNGAMATTASFARTCKCLAEHFNVVLFDLPFAGQSRQHNPQ
 Sbjct: 14 LRVHVERVGQDPGRSTVMLVNGAMATTASFARTCKCLAEHFNVVLFDLPFAGQSRQHNPQ 73

Query: 182 RGLITKDDEVEILLALIERFEVNHLVSASWGGISTLLALSRNPRGIRSSVVMFAFAPGLNQ 361
 RGLITKDDEVEILLALIERFEVNHLVSASWGGISTLLALSRNPRGIRSSVVMFAFAPGLNQ
 Sbjct: 74 RGLITKDDEVEILLALIERFEVNHLVSASWGGISTLLALSRNPRGIRSSVVMFAFAPGLNQ 133

Query: 362 AMLDYV 379
 AMLDYV
 Sbjct: 134 AMLDYV 139

gi|452503|gb|AAA62128.1| rhamnosyl transferase [*Pseudomonas aeruginosa* PG201]
 , Length = 295

Score = 251 bits (640), Expect = 4e-66
 Identities = 126/126 (100%), Positives = 126/126 (100%)
 Frame = +2

Query: 2 LRVHVERVGQDPGRSTVMLVNGAMATTASFARTCKCLAEHFNVVLFDLPFAGQSRQHNPQ 181
 LRVHVERVGQDPGRSTVMLVNGAMATTASFARTCKCLAEHFNVVLFDLPFAGQSRQHNPQ
 Sbjct: 14 LRVHVERVGQDPGRSTVMLVNGAMATTASFARTCKCLAEHFNVVLFDLPFAGQSRQHNPQ 73

Query: 182 RGLITKDDEVEILLALIERFEVNHLVSASWGGISTLLALSRNPRGIRSSVVMFAFAPGLNQ 361
 RGLITKDDEVEILLALIERFEVNHLVSASWGGISTLLALSRNPRGIRSSVVMFAFAPGLNQ
 Sbjct: 74 RGLITKDDEVEILLALIERFEVNHLVSASWGGISTLLALSRNPRGIRSSVVMFAFAPGLNQ 133

Query: 362 AMLDYV 379
 AMLDYV
 Sbjct: 134 AMLDYV 139

5. ผลจากการเทียบความคล้ายของกรดอะมิโนบางส่วนของผลิตภัณฑ์ที่ได้จากปฏิกิริยาลูกโซ่พอลิเมอเรสของ *rhlR* จากจีโนมที่ดีเอ็นเอของ *Pseudomonas* sp. A41 โดยใช้ไพรเมอร์ RR-F และ RR-R

[gi|452505|gb|AAA62130.1|](#) regulatory protein [*Pseudomonas aeruginosa* PG201]
[gi|9949621|gb|AAG06865.1|](#) transcriptional regulator RhlR [*Pseudomonas aeruginosa* PAO1] Length = 241

Score = 146 bits (369), Expect = 1e-34
 Identities = 66/66 (100%), Positives = 66/66 (100%)
 Frame = +2

Query: 2 FLLWWDGLRSEMQPIHDSQGVFAVLEKEVRRRLGFDYYAYGVRHTIPFTRPKTEVHGTYPK 181
 FLLWWDGLRSEMQPIHDSQGVFAVLEKEVRRRLGFDYYAYGVRHTIPFTRPKTEVHGTYPK
 Sbjct: 7 FLLWWDGLRSEMQPIHDSQGVFAVLEKEVRRRLGFDYYAYGVRHTIPFTRPKTEVHGTYPK 66

Query: 182 AWLERY 199
 AWLERY
 Sbjct: 67 AWLERY 72

6. ผลจากการเทียบความคล้ายของ ORF1

[gi|9949625|gb|AAG06868.1|](#) probable deoxycytidine triphosphate deaminase [*Pseudomonas aeruginosa* PAO1] Length = 188

Score = 282 bits (722), Expect = 1e-74
 Identities = 137/137 (100%), Positives = 137/137 (100%)
 Frame = +1

Query: 1 EFKVFTNIHSAVVDPKNFDEKSFVDINSDVCIIPPNSFALARTVEYFRIPRDVLTICLGK 180
 EFKVFTNIHSAVVDPKNFDEKSFVDINSDVCIIPPNSFALARTVEYFRIPRDVLTICLGK
 Sbjct: 52 EFKVFTNIHSAVVDPKNFDEKSFVDINSDVCIIPPNSFALARTVEYFRIPRDVLTICLGK 111

Query: 181 STYARCGIIVNVTPLEPEWEGHVTLFSNTTNLPAKIYANEGVAQMLFLQSDACEVSYK 360
 STYARCGIIVNVTPLEPEWEGHVTLFSNTTNLPAKIYANEGVAQMLFLQSDACEVSYK
 Sbjct: 112 STYARCGIIVNVTPLEPEWEGHVTLFSNTTNLPAKIYANEGVAQMLFLQSDACEVSYK 171

Query: 361 DRGGKYQGQRGVTLPKA 411
 DRGGKYQGQRGVTLPKA
 Sbjct: 172 DRGGKYQGQRGVTLPKA 188

7. ผลจากการเทียบความคล้ายของ ORF 2

[gi|452503|gb|AAA62128.1|](#) rhamnosyl transferase [*Pseudomonas aeruginosa* PG201]
 Length = 295

Score = 591 bits (1523), Expect = e-167
 Identities = 295/295 (100%), Positives = 295/295 (100%)
 Frame = +1

Query: 838 MRRESLLVSVCKGLRVHVERVGQDPGRSTVMLVNGAMATTASFARTCKCLAEHFNVVFLFD 1017
 MRRESLLVSVCKGLRVHVERVGQDPGRSTVMLVNGAMATTASFARTCKCLAEHFNVVFLFD
 Sbjct: 1 MRRESLLVSVCKGLRVHVERVGQDPGRSTVMLVNGAMATTASFARTCKCLAEHFNVVFLFD 60

Query: 1018 LPFAGQSRQHNPQRGLITKDDEVEILLALIERFEVNHLSASWGGISTLLALSRNPRGIR 1197
 LPFAGQSRQHNPQRGLITKDDEVEILLALIERFEVNHLSASWGGISTLLALSRNPRGIR
 Sbjct: 61 LPFAGQSRQHNPQRGLITKDDEVEILLALIERFEVNHLSASWGGISTLLALSRNPRGIR 120

Query: 1198 SSVVMAFAPGLNQAMLDYVGRAQALIELDDKSAIGHLLNETVGKYLPPRLKASNHQHMAS 1377
 SSVVMAFAPGLNQAMLDYVGRAQALIELDDKSAIGHLLNETVGKYLPPRLKASNHQHMAS
 Sbjct: 121 SSVVMAFAPGLNQAMLDYVGRAQALIELDDKSAIGHLLNETVGKYLPPRLKASNHQHMAS 180

Query: 1378 LATGEYEQARFHIDQVLALNDRGYLACLERIQSHVHFINGSWDEYTTAEDARQFRDYLP 1557
 LATGEYEQARFHIDQVLALNDRGYLACLERIQSHVHFINGSWDEYTTAEDARQFRDYLP
 Sbjct: 181 LATGEYEQARFHIDQVLALNDRGYLACLERIQSHVHFINGSWDEYTTAEDARQFRDYLP 240

Query: 1558 CSFSRVEGTGHFLDLESKLAAVRVHRALLEHLLKQPEPQRAERAAGFHEMAIGYA 1722
 CSFSRVEGTGHFLDLESKLAAVRVHRALLEHLLKQPEPQRAERAAGFHEMAIGYA
 Sbjct: 241 CSFSRVEGTGHFLDLESKLAAVRVHRALLEHLLKQPEPQRAERAAGFHEMAIGYA 295

[gi|9949623|gb|AAG06867.1](#) rhamnosyltransferase chain A [*Pseudomonas aeruginosa*
 PA01] Length = 295

Score = 588 bits (1515), Expect = e-166
 Identities = 294/295 (99%), Positives = 294/295 (99%)
 Frame = +1

Query: 838 MRRESLLVSVCKGLRVHVERVGQDPGRSTVMLVNGAMATTASFARTCKCLAEHFNVVLF 1017
 MRRESLLVSVCKGLRVHVERVGQDPGRSTVMLVNGAMATTASFARTCKCLAEHFNVVLF
 Sbjct: 1 MRRESLLVSVCKGLRVHVERVGQDPGRSTVMLVNGAMATTASFARTCKCLAEHFNVVLF 60

Query: 1018 LPFAGQSRQHNPQRGLITKDDEVEILLALIERFEVNHLSASWGGISTLLALSRNPRGIR 1197
 LPFAGQSRQHNPQRGLITKDDEVEILLALIERFEVNHLSASWGGISTLLALSRNPRGIR
 Sbjct: 61 LPFAGQSRQHNPQRGLITKDDEVEILLALIERFEVNHLSASWGGISTLLALSRNPRGIR 120

Query: 1198 SSVVMAFAPGLNQAMLDYVGRAQALIELDDKSAIGHLLNETVGKYLPPRLKASNHQHMAS 1377
 SSVVMAFAPGLNQAMLDYVGRAQALIELDDKSAIGHLLNETVGKYLPPRLKASNHQHMAS
 Sbjct: 121 SSVVMAFAPGLNQAMLDYVGRAQALIELDDKSAIGHLLNETVGKYLPPRLKASNHQHMAS 180

Query: 1378 LATGEYEQARFHIDQVLALNDRGYLACLERIQSHVHFINGSWDEYTTAEDARQFRDYLP 1557
 LATGEYEQARFHIDQVLALNDRGYLACLERIQSHVHFINGSWDEYTTAEDARQFRDYLP
 Sbjct: 181 LATGEYEQARFHIDQVLALNDRGYLACLERIQSHVHFINGSWDEYTTAEDARQFRDYLP 240

Query: 1558 CSFSRVEGTGHFLDLESKLAAVRVHRALLEHLLKQPEPQRAERAAGFHEMAIGYA 1722
 CSFSRVEGTGHFLDLESKLAAVRVHRALLEHLLKQPEPQRAERAAGFHEMAIGYA
 Sbjct: 241 CSFSRVEGTGHFLDLESKLAAVRVHRALLEHLLKQPEPQRAERAAGFHEMAIGYA 295

8. ผลจากการเทียบความคล้ายของ ORF 3

[gi|9949622|gb|AAG06866.1](#) rhamnosyltransferase chain B [*Pseudomonas*
aeruginosa PA01] Length = 426

Score = 877 bits (2266), Expect = 0.0
 Identities = 426/426 (100%), Positives = 426/426 (100%)
 Frame = +3

Query: 1791 MHAILIAIGSAGDVPPFIGLARTLKLGRHVSLSCTIPVFRDAVEQHGI AFVPLSDELYR 1970
 MHAILIAIGSAGDVPPFIGLARTLKLGRHVSLSCTIPVFRDAVEQHGI AFVPLSDELYR
 Sbjct: 1 MHAILIAIGSAGDVPPFIGLARTLKLGRHVSLSCTIPVFRDAVEQHGI AFVPLSDELYR 60

Query: 1971 RTMGDPRLWDPKTSFGVLWQAIAGMIEPVYEVSAQRHDDIVVVGSLWALGARIAHEKYG 2150
 RTMGDPRLWDPKTSFGVLWQAIAGMIEPVYEVSAQRHDDIVVVGSLWALGARIAHEKYG
 Sbjct: 61 RTMGDPRLWDPKTSFGVLWQAIAGMIEPVYEVSAQRHDDIVVVGSLWALGARIAHEKYG 120

Query: 2151 IPYLSAQVSPSTLLSAHLPPVHPKFNVEQMPLAMRKLWRCIERFKLDRTCAPEINAVR 2330
 IPYLSAQVSPSTLLSAHLPPVHPKFNVEQMPLAMRKLWRCIERFKLDRTCAPEINAVR
 Sbjct: 121 IPYLSAQVSPSTLLSAHLPPVHPKFNVEQMPLAMRKLWRCIERFKLDRTCAPEINAVR 180

Query: 2331 RKVGLETPVKRIFTQWMHSPQGVVCLFPAPWFAPPQQDWPQPLHMTGFPLFDGSI PGTPLD 2510
 RKVGLETPVKRIFTQWMHSPQGVVCLFPAPWFAPPQQDWPQPLHMTGFPLFDGSI PGTPLD
 Sbjct: 181 RKVGLETPVKRIFTQWMHSPQGVVCLFPAPWFAPPQQDWPQPLHMTGFPLFDGSI PGTPLD 240

Query: 2511 DELQRFLDQGSRPLVFTQGSTEHLQGDYFAMALRALERLGARGIFLTGAGQEPLRGLPNH 2690
 DELQRFLDQGSRPLVFTQGSTEHLQGDYFAMALRALERLGARGIFLTGAGQEPLRGLPNH
 Sbjct: 241 DELQRFLDQGSRPLVFTQGSTEHLQGDYFAMALRALERLGARGIFLTGAGQEPLRGLPNH 300

Query: 2691 VLQRAYAPL GALLPSCAGLVHPGGIGAMSLALAAGVPQVLLPCAHDQFDNAERLVRLGCG 2870
 VLQRAYAPL GALLPSCAGLVHPGGIGAMSLALAAGVPQVLLPCAHDQFDNAERLVRLGCG
 Sbjct: 301 VLQRAYAPL GALLPSCAGLVHPGGIGAMSLALAAGVPQVLLPCAHDQFDNAERLVRLGCG 360

Query: 2871 MRLGVPLREQELRGALWRLLEDPAMAAACRRFMELSQPHSIACGKAAQVVERCHREGDAR 3050
 MRLGVPLREQELRGALWRLLEDPAMAAACRRFMELSQPHSIACGKAAQVVERCHREGDAR
 Sbjct: 361 MRLGVPLREQELRGALWRLLEDPAMAAACRRFMELSQPHSIACGKAAQVVERCHREGDAR 420

Query: 3051 WLKAAS 3068
 WLKAAS
 Sbjct: 421 WLKAAS 426

gi|452504|qb|AAA62129.1| rhamnosyl transferase [*Pseudomonas aeruginosa* PG201],
 Length = 426

Score = 874 bits (2259), Expect = 0.0
 Identities = 424/426 (99%), Positives = 425/426 (99%)
 Frame = +3

Query: 1791 MHAILIAIGSAGDVFPFIGLARTLKLGRHVS LCTIPVFRDAVEQHGI AFVPLSDELTYR 1970
 MHAILIAIGSAGDVFPFIGLARTLKLGRHVS LCTIPVFRDAVEQHGI AFVPLSDELTYR
 Sbjct: 1 MHAILIAIGSAGDVFPFIGLARTLKLGRHVS LCTIPVFRDAVEQHGI AFVPLSDELTYR 60

Query: 1971 RTMGDPRLWDPKTSFGVLWQAIAGMIEPVY EYVSAQRHDDIVVVGSLWALGARIAHEKYG 2150
 RTMGDPRLWDPKTSFGVLWQ IAGMIEPVY EYVSAQRHDDIVVVGSLWALGARIAHEKYG
 Sbjct: 61 RTMGDPRLWDPKTSFGVLWQTIAGMIEPVY EYVSAQRHDDIVVVGSLWALGARIAHEKYG 120

Query: 2151 IPYLSAQVSPSTLLSAHLPPVHPKFNVEQMPLAMRKLWRCIERFKLDRTCAPEINAVR 2330
 IPYLSAQVSPSTLLSAHLPPVHPKFNVEQMPLAMRKLWRCIERFKLDRTCAP+INAVR
 Sbjct: 121 IPYLSAQVSPSTLLSAHLPPVHPKFNVEQMPLAMRKLWRCIERFKLDRTCAPDINAVR 180

Query: 2331 RKVGLETPVKRIFTQWMHSPQGVVCLFPAPWFAPPQQDWPQPLHMTGFPLFDGSI PGTPLD 2510
 RKVGLETPVKRIFTQWMHSPQGVVCLFPAPWFAPPQQDWPQPLHMTGFPLFDGSI PGTPLD
 Sbjct: 181 RKVGLETPVKRIFTQWMHSPQGVVCLFPAPWFAPPQQDWPQPLHMTGFPLFDGSI PGTPLD 240

Query: 2511 DELQRFLDQGSRPLVFTQGSTEHLQGDYFAMALRALERLGARGIFLTGAGQEPLRGLPNH 2690
 DELQRFLDQGSRPLVFTQGSTEHLQGDYFAMALRALERLGARGIFLTGAGQEPLRGLPNH
 Sbjct: 241 DELQRFLDQGSRPLVFTQGSTEHLQGDYFAMALRALERLGARGIFLTGAGQEPLRGLPNH 300

Query: 2691 VLQRAYAPL GALLPSCAGLVHPGGIGAMSLALAAGVPQVLLPCAHDQFDNAERLVRLGCG 2870
 VLQRAYAPL GALLPSCAGLVHPGGIGAMSLALAAGVPQVLLPCAHDQFDNAERLVRLGCG
 Sbjct: 301 VLQRAYAPL GALLPSCAGLVHPGGIGAMSLALAAGVPQVLLPCAHDQFDNAERLVRLGCG 360

Query: 2871 MRLGVPLREQELRGALWRLLEDPAMAAACRRFMELSQPHSIACGKAAQVVERCHREGDAR 3050
 MRLGVPLREQELRGALWRLLEDPAMAAACRRFMELSQPHSIACGKAAQVVERCHREGDAR
 Sbjct: 361 MRLGVPLREQELRGALWRLLEDPAMAAACRRFMELSQPHSIACGKAAQVVERCHREGDAR 420

Query: 3051 WLKAAS 3068
 WLKAAS
 Sbjct: 421 WLKAAS 426

9. ผลจากการเทียบความคล้ายของ ORF 4

gi|452505|gb|AAA62130.1| regulatory protein [*Pseudomonas aeruginosa* PG201]
gi|9949621|gb|AAG06865.1| transcriptional regulator RhIR [*Pseudomonas aeruginosa* PAO1] Length = 241

Score = 472 bits (1215), Expect = e-131
 Identities = 229/229 (100%), Positives = 229/229 (100%)
 Frame = +1

Query: 3196 MRNDGGFLLWWDGLRSEMQPIHDSQGVFAVLEKEVRRRLGFDYYAYGVRHTIPFTRPKTEV 3375
 MRNDGGFLLWWDGLRSEMQPIHDSQGVFAVLEKEVRRRLGFDYYAYGVRHTIPFTRPKTEV
 Sbjct: 1 MRNDGGFLLWWDGLRSEMQPIHDSQGVFAVLEKEVRRRLGFDYYAYGVRHTIPFTRPKTEV 60

Query: 3376 HGTYPKAWLERYQMNYGAVDPAILNGLRSSEMVVWSDSLFDQSRMLWNEARDWGLCVGA 3555
 HGTYPKAWLERYQMNYGAVDPAILNGLRSSEMVVWSDSLFDQSRMLWNEARDWGLCVGA
 Sbjct: 61 HGTYPKAWLERYQMNYGAVDPAILNGLRSSEMVVWSDSLFDQSRMLWNEARDWGLCVGA 120

Query: 3556 TLP RAPNNLLSVLSVARDQQNISSFEEIRLRLRCMIELLTQKLTDL EHPMLMSNPVC 3735
 TLP RAPNNLLSVLSVARDQQNISSFEEIRLRLRCMIELLTQKLTDL EHPMLMSNPVC
 Sbjct: 121 TLP RAPNNLLSVLSVARDQQNISSFEEIRLRLRCMIELLTQKLTDL EHPMLMSNPVC 180

Query: 3736 LSHREREILQWTADGKSSGEIAIILSISESTVNFHKKNIQKFDAPNKT 3882
 LSHREREILQWTADGKSSGEIAIILSISESTVNFHKKNIQKFDAPNKT
 Sbjct: 181 LSHREREILQWTADGKSSGEIAIILSISESTVNFHKKNIQKFDAPNKT 229

10. ผลจากการเทียบความคล้ายของ ORF 5

gi|511478|gb|AAA82725.1| putative autoinducer synthetase (PG201)
 Length = 201

Score = 385 bits (989), Expect = e-105
 Identities = 190/201 (94%), Positives = 190/201 (94%)
 Frame = +3

Query: 4101 MIXXXXXXXXXXXAAMIAELGRYRHQVFIEKLGWDVVSTSRVRDQEFDQFDHPQTRYIVA 4280
 MI AAMIAELGRYRHQVFIEKLGWDVVSTSRVRDQEFDQFDHPQTRYIVA
 Sbjct: 1 MIELLESLEGLSAAAMIAELGRYRHQVFIEKLGWDVVSTSRVRDQEFDQFDHPQTRYIVA 60

Query: 4281 MGRQGICGCARLLPTTDAYLLKEVFAYLCSETPPSDPSVWELSRYAASAADDPQLAMKIF 4460
 MGRQGICGCARLLPTTDAYLLKEVFAYLCSETPPSDPSVWELSRYAASAADDPQLAMKIF
 Sbjct: 61 MGRQGICGCARLLPTTDAYLLKEVFAYLCSETPPSDPSVWELSRYAASAADDPQLAMKIF 120

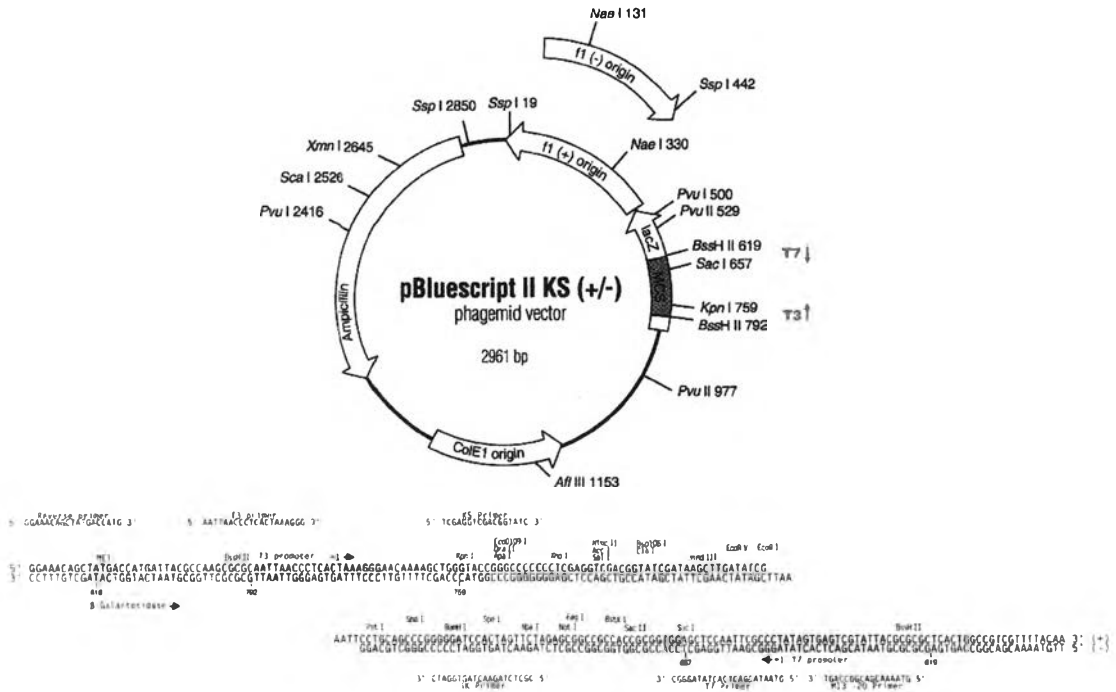
Query: 4461 WSSLQCAWYLGASSVVAVTTTAMERYFVRNGVILQRLGPPQVKVGETLV AISFPAYQERG 4640
 WSSLQCAWYLGASSVVAVTTTAMERYFVRNGVILQRLGPPQVKVGETLV AISFPAYQERG
 Sbjct: 121 WSSLQCAWYLGASSVVAVTTTAMERYFVRNGVILQRLGPPQVKVGETLV AISFPAYQERG 180

Query: 4641 LEMLLRYHPEWLQGVPLSMAV 4703
 LEMLLRYHPEWLQGVPLSMAV
 Sbjct: 181 LEMLLRYHPEWLQGVPLSMAV 201

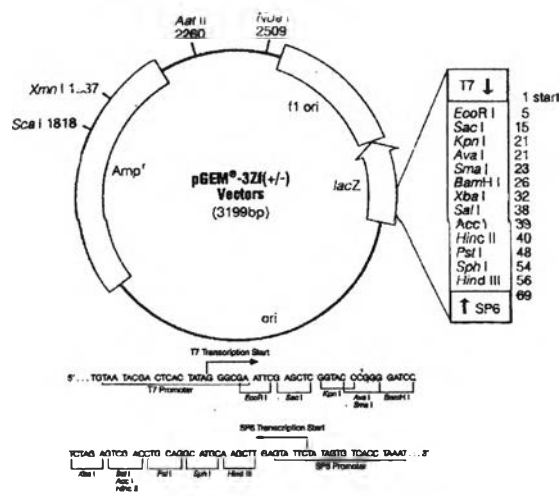
ภาคผนวก ง

พลาสมิดพาหะ

1. พลาสมิด pBluescript KS(+/-)



2. พลาสมิด pGEM-3Zf(+/-)



ภาคผนวก จ

ลำดับนิวคลีโอไทด์ของ 16 เอส ไรโบโซมอลดีเอ็นเอ (16S rDNA)
และชนิดเอ็นเอสเอสอดแทรกในรีคอมบิแนนท์พลาสมิด

1. ลำดับนิวคลีโอไทด์ของ 16 เอส ไรโบโซมอลดีเอ็นเอ (16S ribosomal DNA)

16S ribosomal DNA of A41 1430 bp, 364 A 325 C 452 G 289 T

```

5' 10      20      30      40      50
   GGCAGGCTA ACACATGCAA GTCGAGCGGA TGAAGGGAGC TTGCTCCTGG
   60      70      80      90     100
   ATTCAGCGGC GGACGGGTGA GTAATGCCTA GGAATCTGCC TGGTAGTGGG
   110     120     130     140     150
   GGATAACGTC CGGAAACGGG CGCTAATACC GCATACGTCC TGAGGGAGAA
   160     170     180     190     200
   AGTGGGGGAT CTTCGGACCT CACGCTATCA GATGAGCCTA GGTCGGATTA
   210     220     230     240     250
   GCTAGTTGGT GGGGTAAAGG CCTACCAAGG CGACGATCCG TAACTGGTCT
   260     270     280     290     300
   GAGAGGATGA TCAGTCACAC TGGAACTGAG ACACGGTCCA GACTCCTACG
   310     320     330     340     350
   GGAGGCAGCA GTGGGGAATA TTGGACAATG GCGGAAAGCC TGATCCAGCC
   360     370     380     390     400
   ATGCCCGCTG TGTGAAGAAG GTCTTCGGAT TGTAAAGCAC TTTAAGTTGG
   410     420     430     440     450
   GAGGAAGGGC AGTAAGTTAA TACCTTGCTG TTTTGACGTT ACCAACAGAA
   460     470     480     490     500
   TAAGCACCGG CTAACTTCGT GCCAGCAGCC GCGGTAATAC GAAGGGTGCA
   510     520     530     540     550
   AGCGTTAATC GGAATTACTG GCGGTAAAGC GCGCGTAGGT GGTTCAGCAA
   560     570     580     590     600
   GTTGGATGTG AAATCCCCGG GCTCAACCTG GGAAGTGCAT CCAAAACTAC
   610     620     630     640     650
   TGAGCTAGAG TACGGTAGAG GGTGGTGGAA TTTCTGTGT AGCGGTGAAA
   660     670     680     690     700
   TGCCTAGATA TAGGAAGGAA CACCAGTGGC GAAGGCGACC ACCTGGACTG
   710     720     730     740     750
   ATACTGACAC TGAGGTGCGA AAGCGTGGGG AGCAAACAGG ATTAGATACC
   760     770     780     790     800
   CTGGTAGTCC ACGCCGTAAT CGATGTCGAC TAGCCGTTGG GATCCTTGAG
   810     820     830     840     850
   ATCTTAGTGG CGCAGCTAAC GCGATAAGTC GACCGCCTGG GGAGTACGGC
   860     870     880     890     900
   CGCAAGGTTA AAAGTCAAAT GAATTGACGG GGGCCGCAC AAGCGGTGGA
   910     920     930     940     950
   GCATGTGGTT TAATTCGAAG CAACGCGAAG AACCTTACCT GGCCTTGACA
   960     970     980     990     1000
   TGCTGAGAAC TTTCCAGAGA TGGATTGGTG CCTTCGGGAA CTCAGACACA
   1010    1020    1030    1040    1050
   GGTGCTGCAT GGCTGTCGTC AGCTCGTGTC GTGAGATGTT GGGTTAAGTC
   1060    1070    1080    1090    1100
   CCGTAACGAG CGCAACCCTT GTCCTTAGTT ACCAGCACCT CGGGTGGGCA
   1110    1120    1130    1140    1150
   CTCTAAGGAG ACTGCCGGTG ACAAACCGGA GGAAGGTGGG GATGACGTCA
   1160    1170    1180    1190    1200
   AGTCATCATG GCCCTTACGG CCAGGGCTAC ACACGTGCTA CAATGGTCTGG

```



```

1210      1220      1230      1240      1250
TACAAAGGGT TGCCAAGCCG CGAGGTGGAG CTAATCCCAT AAAACCGATC
1260      1270      1280      1290      1300
GTAGTCCGGA TCGCAGTCTG CAACTCGACT GCGTGAAGTC GGAATCGCTA
1310      1320      1330      1340      1350
GTAATCGTGA ATCAGAATGT CACGGTGAAT ACGTTCCCGG GCCTTGTACA
1360      1370      1380      1390      1400
CACCGCCCGT CACACCATGG GAGTGGGTTG CTCCAGAAGT AGCTAGTCTA
1410      1420      1430
ACCGCAAGGG GGACGGTTAC CACGGAGTGA 3'

```

2. ลำดับนิวคลีโอไทด์ของซันดิเอ็นเอสอดแทรกใน pBR123

```

pBR123 1531 bp , 247 A 511 C 472 G 301 T

5' 10      20      30      40      50
GGATCCGGCG ATCCTCAACG GCCTGCGCTC CTCGGAAATG GTGGTTTGGA
60      70      80      90      100
GCGACAGCCT GTTCGACCAG AGCCGGATGC TCTGGAACGA GGCTCGCGAT
110     120     130     140     150
TGGGGCCTCT GTGTCGGCGC GACCTTGCCG ATCCGCGCGC CGAACAATTT
160     170     180     190     200
GCTCAGCGTG CTTTCCGTGG CGCGGACCA GCAGAATATC TCCAGCTTCG
210     220     230     240     250
AGCGCGAGGA AATACGCCTG CGGCTGCGTT GCATGATCGA GTTGCTGACC
260     270     280     290     300
CAGAAGCTGA CCGACCTGGA GCATCCGATG CTGATGTCCA ACCCGGTCTG
310     320     330     340     350
CCTGAGCCAT CGCGAGCGCG AGATCCTGCA ATGGACCGCC GACGGCAAGA
360     370     380     390     400
GTTCGGGGGA AATCGCCATC ATCCTGAGCA TCTCCGAGAG CACGGTGAAC
410     420     430     440     450
TTCCACCACA AGAACATCCA GAAGAAGTTC GACGCGCCGA ACAAGACGCT
460     470     480     490     500
GGCTGCCGCC TACGCCGCGG CGCTGGGCCT CATCTGATGC TTAGGGCGCG
510     520     530     540     550
CCGGCTGGCG CGCCCTACCA GATCTGGCAG GTTGCTGACC GTTCATCCTC
560     570     580     590     600
CTTTAGTCTT CCCCCTCATG TGTGTGCTGG TATGTCCTCC GACTGAGAGG
610     620     630     640     650
GCCCAGGAGT ATCAGGGTAG GGATGCCGCC TTTTTTTCTC GGCCGGCACG
660     670     680     690     700
ACACGGGGAC TTGGTCATGA TCGAATTGCT CTCTGAATCG CTGGAAGGGC
710     720     730     740     750
TTTCCGCCGC CATGATCGCC GAGCTGGGAC GCTACCGGCA TCAGGTCTTC
760     770     780     790     800
ATCGAGAAGC TGGGCTGGGA TGTGGTCTCC ACCTCCAGGG TCCGCGACCA
810     820     830     840     850
GGAGTTCGAC CAGTTCGACC ATCCGCAAAC CCGCTACATC GTCGCCATGG
860     870     880     890     900
GCCGCCAGGG TATCTGCGGT TGTGCCCGCC TGTTGCCGAC GACCGACGCC
910     920     930     940     950
TACCTGCTCA AGGAAGTCTT CGCCTACCTG TGCAGCGAAA CCCC GCCCAG
960     970     980     990     1000
CGATCCGTCG GTCTGGGAGC TTTTCGCTTA CGCCGCCAGC GCGGCGGACG
1010     1020     1030     1040     1050
ATCCGCAACT GCGGATGAAG ATATTCTGGT CCAGCCTGCA ATGCGCCTGG
1060     1070     1080     1090     1100
TACCTGGGCG CCAGTTCGGT GGTGGCGGTG ACCACCACGG CCATGGAGCG
1110     1120     1130     1140     1150
CTATTTCTGT CGCAACGGCG TGATCCTCCA GCGCCTCGGC CCGCCGACGA

```

```

1160      1170      1180      1190      1200
AGGTCAAGGG CGAGACGCTG GTCGCGATCA GCTTCCCGGC CTACCAGGAG
1210      1220      1230      1240      1250
CGCGGCCTGG AGATGCTGCT GCGCTACCAC CCGGAATGGC TGCAGGGCGT
1260      1270      1280      1290      1300
ACCGCTGTCTG ATGGCGGTGT GAGGTCGTCA GCCGTTTCGC GCACTTTTTT
1310      1320      1330      1340      1350
CCGCTTCTCC TGCCGCATGC TCGGCCCGCG CCCCGGCGTC ATCGGGCGTT
1360      1370      1380      1390      1400
CCCCTGCAAT CCGGGATTG GCCGCGGCTG CCGACTTGCG TAGTCTCTCT
1410      1420      1430      1440      1450
GCGGTCCGCC ATCCCGAGGA GTCGCCATGC CGAAGTCATT CCGCCATCTC
1460      1470      1480      1490      1500
GTCCAGGCC TGGCCTGCCT TCGCTGCTG GCCAGCGCCA GCCTCCAGGC
1510      1520      1530
GCAGGAGAGC CGCCTCGACC GCATCCTCGA G 3'

```

3. ลำดับนิวคลีโอไทด์ของชิ้นดีเอ็นเอสอดแทรกใน pBR530

```

pBR530 513 bp, 100 A 136 C 169 G 108 T
5' 10 20 30 40 50
CTCGAGGACC CGGCCATGGC GCGGCCTGT CCGCGTTTCA TGGAATTGTC
60 70 80 90 100
ACAACCGCAC AGTATCGCTT GCGGTAAAGC GGCCAGGTG GTCGAACGTT
110 120 130 140 150
GTCATAGGGA GGGGGATGCG CGATGGCTGA AGGCTGCGTC CTGAACGGTG
160 170 180 190 200
CTGGCATAAC AGATAGGGTT GCCATGATT TGCCGTATCG GCAAGGCTGC
210 220 230 240 250
GCGCTTGACA GCGTCATACC CCGGGCCAAT TCTGCTGTGA TGCATTTTAT
260 270 280 290 300
CGATCAGGGC TTA CTGCAAT GAGGAATGAC GGAGGCTTTT TGCTGTGGTG
310 320 330 340 350
GGACGGTTTG CGTAGCGAGA TGCAGCCGAT CCACGACAGC CAGGGCGTGT
360 370 380 390 400
TCGCCGTCCT GGAAAAGGAA GTGCGGCGCC TGGGCTTCGA TTA CTAGCC
410 420 430 440 450
TATGGCGTGC GCCATACGAT TCCCTTACC CGGCCGAAGA CCGAGGTCCA
460 470 480 490 500
TGGCACCTAT CCAAGGCCT GGCTGGAGCG ATACCAGATG CAGA ACTACG
510
GGGCCGTGGA TCC 3'

```

4. ลำดับนิวคลีโอไทด์ของชิ้นดีเอ็นเอสอดแทรกใน pGA396

```

pGA396 1562 bp, 299 A 503 C 470 G 290 T
5' 10 20 30 40 50
GAATTCAAGG TGTTACCAA CATCCATTCG GCGGTGGTGC ATCCGAAGAA
60 70 80 90 100
CTTCGACGAG AAAAGCTTCG TCGACATCAA CAGCGACGTC TGCATCATCC
110 120 130 140 150
CGCCGAATC CTTCGCCCTG GCGCGCACCG TCGAGTACTT CCGCATCCCG
160 170 180 190 200
CGCGACGTCC TGACCATCTG CCTGGGCAAG AGCACCTACG CGCGTTGCGG
210 220 230 240 250
CATCATCGTC AACGTCACCC CGCTGGAGCC GGAGTGGGAA GGCCATGTGA
260 270 280 290 300
CCCTCGAGTT CTCCAATACC ACCAACCTGC CGGCGAAGAT CTACGCCAAT

```

310	320	330	340	350
GAAGGCGTGG	CGCAGATGCT	CTTCCTGCAA	TCCGACGAGG	CCTGCGAAGT
360	370	380	390	400
GTCCCTATAAG	GACCGTGGCG	GCAAATACCA	GGGTGAGCGC	GGCGTGACCC
410	420	430	440	450
TGCCAAAAGC	CTGACGCCAG	AGCGTTTCGA	CACCGGAAAC	CGGGCCTGGC
460	470	480	490	500
GCCCCGGTTTT	TTCATGCCTT	TTCCGCCAAC	CCCTCGCTGT	TCCCCGCCGG
510	520	530	540	550
CCGCTCTGGC	ACGCCTTATC	GCGGGCGGGC	AGGGGCTTAT	GCGCAGGCGG
560	570	580	590	600
CCGCCCGTCC	TGTGAAATCT	GGCAGTTACC	GTTAGCTTTC	GAATTGGCTA
610	620	630	640	650
AAAAGTGTTT	ATCGGCTACG	CGTGAACACG	GACGCCAATC	GTTTGCAGAG
660	670	680	690	700
GCCGATCTGC	AAGACCCACA	CAAGCCCCTC	GCCTGAAGGG	GTACGCATCC
710	720	730	740	750
GCCGTGGCTG	GTCCGCGCGG	ATGGCCGCTG	AGTTACTTGT	CTGCCGTTTC
760	770	780	790	800
AACAATAAGA	ACGAACTCTA	CGTAATGCCG	GGATACCCGT	GGCAGCGATA
810	820	830	840	850
GCTGTTTGCC	TGTTGAAAA	TTTTTGGGAG	GTGTGAAATG	CGGCGCGAAA
860	870	880	890	900
GTCTGTTGGT	ATCGGTTTGC	AAGGGCCTGC	GGGTACATGT	CGAGCGCGTT
910	920	930	940	950
GGGCAGGATC	CCGGGCGCAG	CACGGTGATG	CTGGTCAACG	GCGCGATGGC
960	970	980	990	1000
GACCACCGCC	TCGTTGCGCC	GGACCTGCAA	GTGCCTGGCC	GAACATTTCA
1010	1020	1030	1040	1050
ACGTGGTGCT	GTTCGACCTG	CCCTTCGCCG	GGCAGTCGCG	TCAGCACAAC
1060	1070	1080	1090	1100
CCGCAGCGCG	GGTTGATCAC	CAAGGACGAC	GAGGTGGAAG	TCCTCCTGGC
1110	1120	1130	1140	1150
GCTGATCGAG	CGCTTCGAGG	TCAATCACCT	GGTCTCCGCG	TCGTGGGGCG
1160	1170	1180	1190	1200
GTATCTCCAC	GCTGCTGGCG	CTGTGCGGCA	ATCCGCGCGG	CATCCGACGC
1210	1220	1230	1240	1250
TCGGTGGTGA	TGGCATTTCG	CCCTGGACTG	AACCAGGCGA	TGCTCGACTA
1260	1270	1280	1290	1300
CGTCGGGCGG	GCGCAGGCGC	TGATCGAGCT	GGACGACAAG	TCGGCGATCG
1310	1320	1330	1340	1350
GCCATCTGCT	CAACGAGACC	GTCGGCAAAT	ACCTGCCGCC	GCGCCTGAAA
1360	1370	1380	1390	1400
GCCAGCAACC	ATCAGCACAT	GGCTTCGCTG	GCCACCGGCG	AATACGAGCA
1410	1420	1430	1440	1450
GGCGCGCTTT	CACATCGACC	AGGTGCTGGC	GCTCAACGAT	CGGGGCTACC
1460	1470	1480	1490	1500
TGGCTTGCTT	GGAGCGGATC	CAGAGCCACG	TGCATTTTAT	CAACGGCAGC
1510	1520	1530	1540	1550
TGGGACGAAT	ACACCACCGC	CGAGGACGCG	CGCCAGTTCC	GCGACTACCT
1560				
GCCGCACTGC	AG 3'			

5. ลำดับนิวคลีโอไทด์ของชิ้นดีเอ็นเอสอดแทรกใน pKB261

pKB261 1975 bp, 319 A 653 C 650 G 353 T

```

5' 10      20      30      40      50
   GGATCCAGAG CCACGTGCAT TTCATCAACG GCAGCTGGGA CGAATACACC
   60      70      80      90     100
   ACCGCCGAGG ACGCCCGCCA GTTCCGCGAC TACCTGCCGC ACTGCAGTTT
   110     120     130     140     150
   CTCGCGGGTG GAGGGCACCG GGCATTTCCT CGACCTGGAG TCCAAGCTGG
   160     170     180     190     200
   CCGCGGTACG CGTGCACCGC GCCCTGCTCG AGCACCTGCT GAAGCAACCG
   210     220     230     240     250
   GAGCCGCAGC GGGCGGAACG CGCGGCGGGA TTCCACGAGA TGGCCATCGG
   260     270     280     290     300
   CTACGCCTGA ACCCTTGACC TCGAAGACC CGGCCTGGCC GGGCTTTGCG
   310     320     330     340     350
   GTTGCATAAC GCACGGAGTA GCCCCATGCA CGCCATCCTC ATCGCCATCG
   360     370     380     390     400
   GCTCGGCCGG CGACGTATTT CCCTTCATCG GCTTGGCCCG GACCCTGAAA
   410     420     430     440     450
   TTGCGCGGGC ACCGCGTGAG CCTCTGCACC ATCCCGGTGT TTCGCGACGC
   460     470     480     490     500
   GGTGGAGCAG CACGGCATCG CGTTCGTCCC GCTGAGCGAC GAACTGACCT
   510     520     530     540     550
   ACCGCCGAC CATGGGCGAT CCGCGCCTGT GGGACCCAA GACGTCCTTC
   560     570     580     590     600
   GGCGTGCTCT GGCAAGCCAT CGCCGGGATG ATCGAGCCGG TCTACGAGTA
   610     620     630     640     650
   CGTCTCGGCG CAGCGCCATG ACGACATCGT GGTGGTCGGC TCGCTCTGGG
   660     670     680     690     700
   CGCTGGGCGC ACGCATCGCT CACGAGAAGT ACGGGATTCC CTACCTGTCC
   710     720     730     740     750
   GCGCAGGTCT CGCCATCGAC CTTGTTGTCT GCGCACCTGC CGCCGGTACA
   760     770     780     790     800
   CCCCAGTTC AACGTGCCCG AGCAGATGCC GCTGGCGATG CGCAAGCTGC
   810     820     830     840     850
   TCTGGCGCTG CATCGAGCGC TTCAAGCTGG ATCGCACCTG CGCGCCGGAG
   860     870     880     890     900
   ATCAACGGCG TGCGCCGCAA GGTCCGCCTG GAGACGCCGG TGAAGCGCAT
   910     920     930     940     950
   CTTACCCAA TGGATGCATT CGCCGCAGGG CGTGGTCTGC CTGTTCCCGG
   960     970     980     990     1000
   CCTGGTTCGC GCCGCCCAG CAGGATTGGC CGCAACCCCT GCACATGACC
   1010    1020    1030    1040    1050
   GGCTTCCCGC TGTTGACGCG CAGTATCCCG GGGACCCCGC TCGACGACGA
   1060    1070    1080    1090    1100
   ACTGCAACGC TTTCTCGATC AGGGCAGCCG GCCGCTGGTG TTCACCCAGG
   1110    1120    1130    1140    1150
   GCTCGACCGA ACACCTGCAG GCGGACTTCT ACGCCATGGC CCTGCGCGCG
   1160    1170    1180    1190    1200
   CTGGAACGCC TCGGCGCGCG TGGGATCTTC CTCACCGGCG CCGGCCAGGA
   1210    1220    1230    1240    1250
   ACCGCTGCGC GGCTTGCCGA ATCACGTGCT GCAGCGCGCC TACGCGCCAC
   1260    1270    1280    1290    1300
   TGGGAGCCTT GCTGCCATCG TCGCCGGGGC TGGTCCATCC GGGCGGTATC
   1310    1320    1330    1340    1350
   GGCGCCATGA GCCTGGCCTT GCGGGCGGGG GTGCCGAGG TGCTGCTGCC
   1360    1370    1380    1390    1400
   CTGCGCCAC GACCAGTTCG ACAATGCCGA ACGGCTGGTC CGGCTCGGCT
   1410    1420    1430    1440    1450
   GCGGGATGCG CCTGGGCGTG CCATTGCGCG AGCAGGAGTT GCGCGGGGCG

```

1460	1470	1480	1490	1500
CTGTGGCGCT	TGCTCGAGGA	CCCGGCCATG	GCGGCGCCT	GTCGGCGTTT
1510	1520	1530	1540	1550
CATGGAATTG	TCACAACCGC	ACAGTATCGC	TTGCGGTAAA	GCGGCCCAGG
1560	1570	1580	1590	1600
TGGTCGAACG	TTGTCATAGG	GAGGGGGATG	CGCGATGGCT	GAAGGCTGCG
1610	1620	1630	1640	1650
TCCTGAACGG	TGCTGGCATA	ACAGATAGGG	TTGCCATGAT	TTTGCCGTAT
1660	1670	1680	1690	1700
CGGCAAGGCT	GCGCGCTTGA	CAGCGTCATA	CCCCGGGCCA	ATTCTGCTGT
1710	1720	1730	1740	1750
GATGCATTTT	ATCGATCAGG	GCTTACTGCA	ATGAGGAATG	ACGGAGGCTT
1760	1770	1780	1790	1800
TTTGCTGTGG	TGGGACGGTT	TGCGTAGCGA	GATGCAGCCG	ATCCACGACA
1810	1820	1830	1840	1850
GCCAGGGCGT	GTTCGCCGTC	CTGGAAAAGG	AAGTGC GGCG	CCTGGGCTTC
1860	1870	1880	1890	1900
GATTACTACG	CCTATGGCGT	GCGCCATACG	ATTCCCTTCA	CCCGGCCGAA
1910	1920	1930	1940	1950
GACCGAGGTC	CATGGCACCT	ATCCAAGGC	CTGGCTGGAG	CGATACCAGA
1960	1970			
TGCAGAACTA	CGGGGCCGTG	GATCC	3'	





ประวัติผู้เขียน

นางสาวนิษฐา วงษ์นิกร เกิดเมื่อวันที่ 1 พฤศจิกายน พ.ศ. 2521 ที่กรุงเทพฯ ๙ สำเร็จการศึกษาปริญญาตรีวิทยาศาสตร์บัณฑิต สาขาจุลชีววิทยา คณะวิทยาศาสตร์ จฬาลงกรณ์มหาวิทยาลัย ในปีการศึกษา 2543 และเข้ารับการศึกษต่อในระดับปริญญาโทบัณฑิต สาขาจุลชีววิทยาทางอุตสาหกรรม ภาควิชาจุลชีววิทยา คณะวิทยาศาสตร์ จฬาลงกรณ์มหาวิทยาลัย ในปีการศึกษา 2544